

پتـرولوژی، سال دوم، شماره هفتم، پاییز ۱۳۹۰، صفحه ۱-۲۰  
تاریخ پذیرش: ۱۳۸۸/۱۲/۲۳ تاریخ دریافت: ۱۳۸۷/۱۲/۲۰

## دلایل اختلاف ترکیب کرومیتیت در افیولیت‌های نایین و عشین و نبود آن در افیولیت‌های انارک و جندق (استان اصفهان)

قدرت ترابی \*

گروه زمین‌شناسی، دانشکده علوم، دانشگاه اصفهان، اصفهان، ایران

### چکیده

افیولیت‌های غرب ایران مرکزی بر دو گونه هستند: افیولیت‌های مزوژوییک (نایین و عشین)، و افیولیت‌های پالئوزوییک یا پرکامبرین (انارک و جندق). بررسی‌های صحرایی افیولیت‌های مزوژوییک نشان می‌دهد که این مجموعه‌های سنگی دارای کانسارهای کرومیت در خور توجهی بوده، در صورتی که کرومیتیت در افیولیت‌های انارک و جندق دیده نشده است. مطالعه کرومیتیت‌های موجود در افیولیت‌های مزوژوییک نیز نشان داده است که از دو نوع متفاوت هستند، بدین صورت که کرومیتیت‌های افیولیت نایین از نوع کرومیتیت‌های با Cr بالا بوده، در صورتی که کرومیتیت‌های افیولیت عشین از نوع کرومیتیت‌های با Al بالا هستند. دلایل فقدان کرومیتیت در افیولیت‌های انارک و جندق به لرزولیتی بودن سیستم گوشته، نبود گسترش ذوب‌بخشی در سنگ‌های گوشته و پویا نبودن گوشته در تولید مذاب‌های جدید بر می‌گردد. دلیل تشکیل کرومیتیت‌های با ترکیب متفاوت در افیولیت‌های مزوژوییک نیز به اختلاف ترکیب ارتوپیروکسن‌ها، مقادیر متفاوت درجات ذوب‌بخشی و اختلاف در ترکیب شیمیایی ماقمای در حال صعود مربوط می‌شود.

**واژه‌های کلیدی:** افیولیت، ایران مرکزی، پریدوتیت گوشته، کرومیتیت

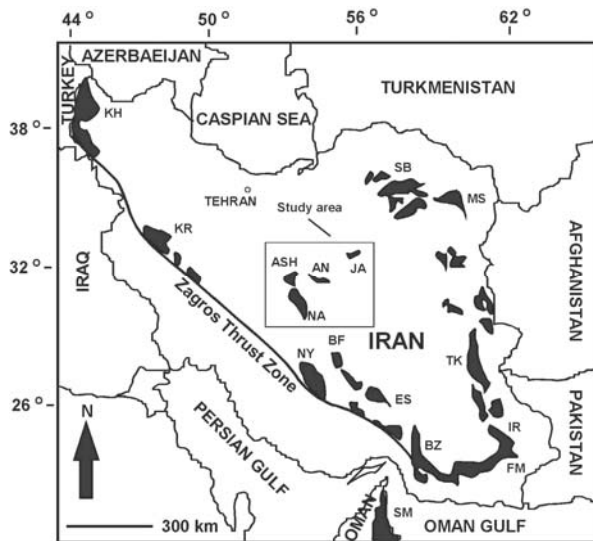
### مقدمه

کلینوپیروکسن‌ها و سپس ارتوپیروکسن‌ها را ذوب می‌کند. ذوب کلینوپیروکسن‌ها باعث افزوده شدن بازالت به ماقمای در حال صعود، و ذوب نامتجانس ارتوپیروکسن‌ها باعث افزوده شدن  $\text{SiO}_2$  به ماقمای در حال صعود، و افزوده شدن الیوین به سنگ دیواره می‌شود. بنابراین، رخداد واکنش‌های سنگ دیواره با مذاب در حال صعود، باعث ذوب پیروکسن‌ها و تغییر

مطالعات برخی پژوهشگران مانند Kuo و همکاران (۱۹۸۵)، Arai (۱۹۹۷) و Kelemen (۱۹۹۲) نشان داده است که ماقمای بازالتی اولیه که حاصل ذوب‌بخشی پریدوتیت‌های گوشته است در هنگام صعود با سنگ دیواره خود که همان پریدوتیت‌های گوشته هستند وارد واکنش شده و ابتدا

### زمین‌شناسی عمومی

افیولیت‌های مورد مطالعه در بخش غربی ایران مرکزی و حاشیه جنوبی کویر بزرگ با شرایط آب و هوایی کاملاً بیابانی واقع شده‌اند. دو گونه سنگ افیولیتی در این ناحیه وجود دارد (شکل ۱):



شکل ۱- نقشه افیولیت‌های ایران و موقعیت افیولیت‌های مورد بررسی، برگرفته از Pessagno و همکاران (۲۰۰۴)، با تغییرات درباره افیولیت‌های انارک و جندق

(KH = Khoy; KR = Kermanshah; NY = Neyriz; BZ = Band Ziarat; NA = Naein; BF = Baft; ES = Esphandagheh; FM = Fanuj-Maskutan; IR = Iranshahr; TK = Tchehel Kureh; MS = Mashhad; SB = Sabzevar; SM = Samail; ASH= Ashin; AN = Anarak; JA = Jandaq)

(۱) افیولیت‌های جندق و انارک که دارای سن پروتروزوییک بالایی (Almasian, 1997; Sharkovski et al., 1984; Reyer and Mohafez, 1972) یا پائیزوییک (Davoudzadeh, 1997; Bagheri, 2007) بوده، در آن‌ها تا کنون هیچ کرومیتیتی گزارش نشده است. بیشتر پریدوتیت‌های گوشته این دو افیولیت را لرزولیت‌های زایا به خود اختصاص داده و جزء افیولیت‌های نوع LOT محسوب می‌شوند (ترابی، ۱۳۸۳).

افیولیت انارک در رخساره شیست سیز و افیولیت جندق در رخساره آمفیبولیت دچار دگرگونی ناحیه شده

ماهیت سنگ دیواره پریدوتیتی و ترکیب شیمیایی مذاب صعود کننده می‌شود. حاصل انجام این واکنش‌ها تشکیل هارزبورگیت‌ها و دونیت‌های واکنشی، و در برخی موارد کرومیت‌های انبانی است. در سیستم سه تایی الیوین - اسپینل - کوارتز، دلیل تشکیل کرومیت‌های انبانی، افزوده شدن سیلیس حاصل از ذوب نامتجانس ارتوپیروکسن‌ها به مagma در حال حرکت بر روی منحنی کوتکتیک است چرا که افزایش مقدار سیلیس magma باعث تغییر موقعیت ترکیبی آن به درون محدوده پایداری کانی کرومیت شده و موجب تبلور کرومیت می‌شود (Zhou et al., 1994, 1997, 1998, 2001; Kelemen et al., 2000). به این سوال که چرا بعضی از مجموعه‌های افیولیتی حاوی کانسارسازی کرومیت، و برخی دیگر فاقد کانسارسازی هستند، هنوز جوابی قانع کننده داده نشده است.

از آنجایی که تشکیل کرومیت در ارتباط با واکنش‌های سنگ دیواره پریدوتیتی با مذاب صعود کننده بوده، منشأ عنصر Cr موجود در کرومیت‌ها به موجود در ساختار پیروکسن‌های ذوب شده بر Cr (Nicolas, 1989; Nicolas and Al-Azri, 1990)، بنابراین، حضور یا عدم حضور کانسارهای کرومیت در مجموعه‌های افیولیتی برگرفته از وسعت و مقدار گسترش واکنش‌های سنگ - مذاب، و ترکیب پیروکسن‌های ذوب شده خواهد بود. به همین دلیل، در این نوشتار چهار افیولیت از سرزمین ایران مرکزی که در نزدیکی یکدیگر واقع شده و کرومیت‌ها در دو افیولیت حضور داشته و در دو تای دیگر حضور ندارند، انتخاب و بررسی شده‌اند.

در این مقاله به بررسی دلایل تشکیل یا عدم تشکیل کرومیت در درون پریدوتیت‌های گوشته افیولیت‌های جندق، انارک، عشین و نایین، و همچنین، علت اختلاف ترکیب شیمیایی کرومیت‌های عشین و نایین پرداخته خواهد شد.

سنگ آهک‌های کرتاسه بالایی تا پالئوسن زیرین، و سازند آخره با سن ائوسن، این ملاتزهای افیولیتی را به صورت دگرشیب پوشانده‌اند. چرت‌های رادیولر سطح گدازه‌های بالشی را پوشانده و خود نیز در زیر سنگ آهک‌های گلوبوترونکانادار قرار می‌گیرند. بر اثر حرکات تکتونیکی در زمان جایگیری، چرت‌های رادیولر در اغلب موارد کاملاً شکسته و خرد هستند.

فراوان بودن رادیولرهای در بخش‌هایی از چرت‌های این دو مجموعه افیولیتی به‌خوبی مشخص است (با استفاده از لنز دستی). انواع رادیولرهایی که در درون چرت‌ها دیده می‌شوند عبارتند از (Sharkovski *et al.*, 1984): *Amphipyndax stocki* F o r., *Dictyomitra multicostata* Z I t., D. cf. *Pseudomacrocephala S q u I n.*, *Lithocampe* sp., *Spongosaturnalis moorei* F o r., *Holocryptocanum barbiu* D u m. همه این رادیولرهای بیانگر سن کرتاسه بالایی برای چرت‌ها هستند.

گلوبوترونکاناهای سنگ آهک‌ها را نیز می‌توان به دو گروه تقسیم نمود (Sharkovski *et al.*, 1984) Turonian – Santonian گروه اول که بیانگر سن هستند:

*G. helvetica*, *G. ex gr. Imbricata*, *G. ex gr. Elevata*, *G. lapparenti*, *G. renzi* Campanian – گروه دوم که بیانگر سن هستند: Maestrichtian

*G. tricarinata*, *G. stuarti*, *G. arca*, *G. conica*, *G. gansseri*, *G. falsostuarti*, *G. ventricosa* با توجه به مطالب فوق، زمان جایگیری این افیولیت‌ها از پالئوسن زیرین تا ائوسن زیرین می‌تواند باشد. بررسی‌های (Davoudzadeh, 1972) نیز سن پالئوسن زیرین تا ائوسن زیرین را نشان می‌دهد. این دو مجموعه به صورت درهم دیده شده و دارای خصوصیات یک آمیزه افیولیتی هستند که زمینه آن سرپانتینیت (پریدوتیت‌های گوشه‌های سرپانتینی شده) بوده، سایر سنگ‌ها در داخل آن رخنمون دارند.

است (Torabi, 2009). واحدهای سازنده این افیولیت‌ها عبارتند از: پریدوتیت‌ها و پریدوتیت‌های سرپانتینی شده گوشه، گابرو، دایک‌های بازیک و اولترابازیک، پیروکسنتیت‌ها، گدازه‌های بالشی و ماسیبو، آمفیبولیت، رودینگیت و لیستونیت. همه واحدهای این دو مجموعه افیولیتی توسط دگرگونه‌هایی از جنس شیست و مرمر پوشیده شده‌اند. افیولیت انارک در بخش‌های شمالی شهر انارک، و افیولیت جندق در ۴۰ کیلومتری شرق شهر جندق رخنمون دارند.

(۲) افیولیت ملاتزهای نایین و عشین که دارای سن مزوژویک بوده، دایک‌های دیابازی و گدازه‌های بالشی آن‌ها متعلق به کرتاسه هستند. سنگ‌های این دو مجموعه افیولیتی عبارتند از: پریدوتیت‌ها و پریدوتیت‌های سرپانتینی شده گوشه، کرومیت، گابرو، پیروکسنتیت، دایک‌های دیابازی، کمپلکس دایک‌های ورقه‌ای، بازالت، گدازه‌های بالشی، پلاژیوگرانیت، چرت‌های رادیولر، سنگ آهک‌های کرتاسه بالایی، رودینگیت، لیستونیت و سنگ‌های دگرگونی شامل آمفیبولیت، دایک آمفیبولیتی، اسکارن، متاچرت‌های نواری، شیست و مرمر. بررسی صحرایی پریدوتیت‌های گوشه این دو افیولیت نشان می‌دهد که توالی لرزولیت – هارزبورگیت – دونیت به‌خوبی مشخص بوده، لرزولیت‌ها هیچ‌گاه در تماس با دونیت‌ها نیستند. دایک‌های دیابازی و گدازه‌های بالشی این دو افیولیت از نظر ترکیب شیمیایی دارای شباهت‌هایی با بازالتهای پشت‌های میان اقیانوسی و بازالتهای جزایر قوسی هستند (ترابی، ۱۳۸۳؛ ترابی و همکاران، ۱۳۸۷؛ جباری، ۱۳۷۶؛ منوچهری، ۱۳۷۶). سنگ غالب پریدوتیت‌های گوشه این دو مجموعه افیولیتی هارزبورگیت بوده، جزء افیولیت‌های نوع HOT محسوب می‌شوند. این دو افیولیت در بخش‌های غربی ایران مرکزی و در محل تغییر جهت و پیچش گسل کویر بزرگ (گسل درونه) از شمال شرق به جنوب شرق قرار دارند و باقی مانده نفوذتیس محسوب می‌شوند.

بوده، به صورت پورفیروکلاست دیده می‌شوند. این کانی‌ها دارای خاموشی موجی و کینک باند بوده، در مواردی کشیدگی نواری‌شکل از خود نشان می‌دهند. در حاشیه ارتوپیروکسن‌ها خلیج‌های خوردگی و انحلال وجود دارد که توسط الیوین‌های ریز دانه پر شده است. کلینوپیروکسن‌ها سالم باقی مانده و از نظر اندازه کوچکتر از ارتوپیروکسن‌ها هستند. این کانی‌ها دارای ترکیب اوژیت و دیوپسید هستند. اسپینل‌ها به رنگ قهوه‌ای روشن بوده، ریز دانه و ورمیکولار هستند. بر اثر آلتراسیون به صورت جزیی به مگنتیت تبدیل شده و دارای ترکیب اسپینل کروم‌دار هستند. میزان Cr# این کانی‌ها به طور متوسط برابر با ۰/۲۰ است.

جدول ۱- تغییرات ترکیب الیوین‌ها و اسپینل‌ها در پریدوتیت‌ها و کرومیتیت‌های افیولیت نایین (پیرنیا، ۱۳۸۶)

Rock Type	Cr# of Spinel	%Fo in Olivine
Lherzolite	0.20	90.19
Harzburgite	0.41	91.11
Dunite	0.47 - 0.71	88.22
Chromitite	0.71 - 0.73	-----

جدول ۲- تغییرات ترکیب الیوین‌ها و اسپینل‌ها در پریدوتیت‌ها و کرومیتیت‌های افیولیت عشین (ترابی، ۱۳۸۳)

Rock Type	Cr# of Spinel	%Fo in Olivine
Lherzolite	0.10 - 0.40	90.50
Harzburgite	0.40 - 0.47	90
Dunite	0.45 - 0.59	87.60
Chromitite	0.47 - 0.57	-----

هارزبورگیت‌ها از الیوین، ارتوپیروکسن و کانی‌های فرعی کلینوپیروکسن و اسپینل کروم‌دار ساخته شده‌اند و دارای بافت پورفیروکلاستیک و گرانوبلاستیک هستند. بر اساس داده‌های میکروپرورب الیوین‌های موجود در این سنگ‌ها از نوع فورستریت ( $Fo_{91}$ ) هستند و نسبت به الیوین‌های موجود در لرزولیت‌ها بیشتر سرپانتینی شده‌اند. ارتوپیروکسن‌ها دارای ترکیب انستاباتیت ( $En_{89}$ )

این دو گونه مجموعه افیولیت‌های مزوزویک و پالئوزویک یا پرکامبرین) که در بالا ذکر شد دارای واحدهای سنگی متفاوت، ترکیب شیمیایی مختلف و گذشته زمین‌شناسی بسیار متفاوتی هستند.

### روش انجام پژوهش

به منظور دسترسی به اهداف این پژوهش از پریدوتیت‌های گوشه هر چهار مجموعه افیولیتی، و کرومیتیت‌های افیولیت‌های عشین و نایین نمونه‌برداری صورت گرفته و پس از بررسی‌های پتروگرافی، کانی‌های مناسب با استفاده از دستگاه آنالیز الکترون میکروپرورب JEOL مدل Cameca SX-100 و JXA-8800 (WDS) در دانشگاه‌های کانازاراوا زاپن و هانوور آلمان با ولتاژ شتاب‌دهنده ۲۰ kV و جریان ۱۲ nA بررسی شدند. در محاسبه مقدار  $Fe^{3+}$  برای دسترسی به فرمول ساختاری کانی‌ها نیز از استوکیومتری کانی‌ها استفاده شد (Droop, 1987).

**پتروگرافی و شیمی کانی‌ها**  
پریدوتیت‌های گوشه افیولیت‌های نایین و عشین لرزولیت‌های گوشه این افیولیت‌ها دارای بافت‌های پورفیروکلاستیک و گرانوبلاستیک هستند و از نوع لرزولیت‌های ۴ فازی هستند. این سنگ‌ها از الیوین، ارتوپیروکسن، کلینوپیروکسن و اسپینل‌های کروم‌دار تشکیل شده‌اند. الیوین‌ها ریز دانه بوده، با حاشیه‌های سرپانتینی زمینه سنگ را تشکیل می‌دهند. این کانی‌ها برخلاف پیروکسن‌ها شواهد تغییر شکل گوشه‌ای را از خود نشان نداده و بر اساس داده‌های میکروپرورب دارای ترکیب فورستریت ( $Fo_{90}$ ) هستند (جدول‌های ۱ و ۲). ارتوپیروکسن‌ها دارای ترکیب انستاباتیت ( $En_{87-88}Fs_{9-10}$ )

فورسترتیت الیوین موجود در دونیت‌ها کمتر از لرزولیت‌ها و هارزبورگیت‌ها بوده، در گذر از لرزولیت‌ها به سمت هارزبورگیت، دونیت و کرومیتیت‌ها، Cr# اسپینل‌ها افزایش، رنگ آن‌ها تیره‌تر و شکل آن‌ها یوهدرال تر می‌شود.

**پریدوتیت‌های گوشته افیولیت‌های انارک و جندق**  
پریدوتیت‌های گوشته افیولیت‌های جندق و انارک فازهای متعددی از سرپانتینی شدن را پشت سر نهاده‌اند و سرپانتینیت یکی از مهمترین سنگ‌های تشکیل دهنده این مجموعه‌های افیولیتی است. بررسی‌های پتروگرافی نشان می‌دهد که پریدوتیت‌های گوشته افیولیت جندق و انارک بیشتر از نوع لرزولیت و هارزبورگیت بوده‌اند و دونیت‌ها توسعه چندانی نداشته‌اند. لرزولیت‌ها و هارزبورگیت‌های افیولیت جندق از کانی‌های آنتوفیلیت، تالک، الیوین و ارتوپیروکسن‌های دگرگونی و ترمولیت تشکیل شده‌اند. کلینوپیروکسن‌ها و اسپینل‌ها بازمانده کانی‌های آذرین اولیه بوده، بخش‌هایی از کلینوپیروکسن‌ها بر اثر دگرگونی تبدیل به ترمولیت شده‌اند. اسپینل‌های کرمدار اغلب مگنتیتی شده‌اند اما قسمت‌های درونی برخی از آن‌ها هنوز سالم هستند. با توجه به موارد فوق این سنگ‌ها در رخساره آمفیولیت دگرگون شده و آن‌ها را می‌توان متاپریدوتیت نامید (Torabi, 2009). نام‌گذاری پریدوتیت‌های موجود در این افیولیت‌ها بر اساس استفاده از سودومورف‌های کانی‌های اولیه، ترکیب شیمیایی نمونه‌های سنگ کل و نوع کانی‌های حاصل دگرگونی انجام می‌پذیرد. در این مجموعه‌های افیولیتی، اسپینل‌های کرمدار در همه انواع پریدوتیت‌های گوشته (لرزولیت، هارزبورگیت و دونیت) به صورت خود شکل دیده می‌شوند و همان‌طور که قبل

(Fs<sub>8-9</sub>) هستند و مانند ارتوپیروکسن‌های لرزولیت شواهد تغییر شکل گوشته‌ای را نشان می‌دهند. حاشیه‌های انحلال یافته در اطراف این کانی‌ها از توسعه و تکامل بیشتری نسبت به لرزولیت‌ها برخوردار هستند. کلینوپیروکسن‌ها از فراوانی کمی برخوردار هستند و دارای ترکیب اوژیت هستند.

اسپینل‌های موجود در این سنگ‌ها به رنگ قرمز تا قهوه‌ای تیره بوده، از نوع اسپینل‌های کروم‌دار هستند. این کانی‌ها نیمه‌شكل‌دار بوده، به طور متوسط دارای Cr# برابر با ۴۱۳/۰ هستند. همچنین، دارای اندازه بزرگ‌تری نسبت به اسپینل‌های لرزولیت هستند. کانی اصلی سازنده دونیت‌ها الیوین بوده، سایر کانی‌هایی همچون اسپینل کروم‌دار، کلینوپیروکسن، ارتوپیروکسن و مگنتیت دارای مقادیر کمی هستند. شدت سرپانتینی شدن در این سنگ‌ها به حدی است که در بیشتر موارد تنها جزایر کوچکی از الیوین‌ها را می‌توان در سنگ مشاهده نمود. در واقع این سنگ‌ها بر اثر فرآیند سرپانتینی شدن پیشرفت‌های سرپانتینیت تبدیل شده‌اند. حضور فراوان کانی‌های سرپانتین در این سنگ‌ها باعث بخشیدن بافت مشبك به این سنگ‌ها شده است. الیوین‌های موجود در این سنگ‌ها دارای ترکیب کریزولیت (Fo<sub>88</sub>) هستند. کلینوپیروکسن‌ها از نوع دیوبسید و اسپینل‌ها با #Cr برابر با ۴۵/۰ تا ۷۱/۰ از نوع اسپینل‌های کروم‌دار هستند. اسپینل‌های کروم‌دار به صورت نیمه‌شكل‌دار تا شکل‌دار بوده، به رنگ قهوه‌ای تیره تا سیاه هستند. لنزهای کرومیتی در درون برخی از بخش‌های دونیتی دیده می‌شوند. دلیل عدم بررسی الیوین‌های موجود در کرومیت‌ها، تغییر ترکیب آن‌ها بر اثر واکنش با اسپینل‌ها در دمای ساب‌سولیدوس است (Arai, 1997).

کلی می‌توان گفت که اسپینل‌های کرمدار در انواع پریدوتیت‌های گوشه این افیولیت‌ها دارای ترکیب محدودی هستند. محدوده Cr# اسپینل‌های موجود در پریدوتیت‌های گوشه افیولیت جندق ۰/۴۶ تا ۰/۶۱، و محدوده Cr# اسپینل‌ها در افیولیت انارک نیز ۰/۴۷ تا ۰/۵۱ است.

نتایج آنالیز ارتوبیروکسن و کلینوپیروکسن‌های موجود در پریدوتیت‌های گوشه، و اسپینل‌های موجود در کرومیتیت‌های افیولیت‌های عشین و نایین، به همراه کلینوپیروکسن و اسپینل‌های موجود در پریدوتیت‌های گوشه افیولیت‌های انارک و جندق، و نتایج محاسبه فرمول ساختاری و فاکتورهای معرف آن‌ها در جدول‌های ۳ تا ۱۳ آورده شده است.

اشاره شد هیچ سنگی که غنی از اسپینل‌های کرمدار باشد (کرومیتیت) دیده نمی‌شود. با استفاده از بررسی‌های پتروگرافی و توجه به تغییرات کانی‌ها که بر اثر سرپانتینی شدن و دگرگونی رخ داده است می‌توان پریدوتیت‌های گوشه اولیه افیولیت‌های جندق و انارک را به ترتیب کاهش فراوانی، لرزولیت، هارزبورگیت و دونیت در نظر گرفت به عبارت دیگر لرزولیت‌ها بیشترین و دونیت‌ها کمترین فراوانی را داشته‌اند. کلینوپیروکسن‌های موجود در پریدوتیت‌های گوشه این دو افیولیت از نوع دیوپسید هستند.

مقدار Cr# در اسپینل‌های کرمداری که تحت تأثیر مگنتیتی شدن قرار نگرفته‌اند در همه انواع پریدوتیت‌های گوشه تنوع گسترده‌ای نداشته و به طور

جدول ۳- نتایج آنالیز نقطه‌ای کلینوپیروکسن‌های موجود در پریدوتیت‌های گوشه افیولیت انارک (لرزولیت) بر اساس درصد وزنی (wt%) و محاسبه فرمول ساختاری آن‌ها

Sample No.	137	137	137	137	137	137	137	137	137	137	137	137	137	137	137	137	355	355	355	355	
Analysis No.	1	2	3	4	5	6	60	61	62	63	64	65	66	67	68	69	7	1	43	44	45
SiO <sub>2</sub>	53.20	52.19	52.91	52.27	52.45	52.03	52.55	52.76	53.18	51.86	54.04	53.51	52.97	53.04	52.18	52.34	52.90	52.27	53.72	53.01	53.25
TiO <sub>2</sub>	0.24	0.28	0.28	0.22	0.27	0.29	0.28	0.26	0.29	0.21	0.25	0.28	0.28	0.22	0.22	0.28	0.30	0.31	0.31	0.29	0.28
Al <sub>2</sub> O <sub>3</sub>	4.07	5.18	4.27	4.86	4.68	4.86	4.82	5.08	3.95	6.51	4.62	4.21	4.56	4.46	6.33	6.18	3.97	4.69	5.01	5.08	4.67
Cr <sub>2</sub> O <sub>3</sub>	0.84	1.08	0.97	1.08	0.85	0.88	1.04	0.95	0.97	1.17	1.04	1.18	1.06	1.02	1.17	1.15	0.74	0.76	0.68	0.75	0.75
FeO	2.20	2.28	2.23	2.27	2.41	2.19	2.13	2.09	2.13	2.40	2.62	2.14	2.19	2.27	2.30	2.32	2.08	2.57	2.52	2.22	2.31
MnO	0.10	0.06	0.06	0.10	0.08	0.09	0.08	0.08	0.09	0.10	0.10	0.07	0.08	0.08	0.12	0.09	0.06	0.04	0.06	0.10	0.06
MgO	15.84	14.85	15.32	15.22	15.73	15.19	16.19	15.99	16.58	15.18	17.97	16.48	16.00	16.43	15.31	15.55	15.59	16.44	17.17	16.13	16.18
CaO	22.37	22.78	22.80	22.76	22.27	22.87	21.32	21.61	21.32	21.61	19.66	21.63	21.49	21.81	21.72	21.27	23.00	21.89	19.89	20.80	21.35
Na <sub>2</sub> O	0.67	0.60	0.61	0.67	0.57	0.60	0.62	0.65	0.56	0.72	0.56	0.59	0.64	0.58	0.78	0.70	0.59	1.03	1.01	1.06	1.00
K <sub>2</sub> O	0.02	0.02	0.00	0.02	0.03	0.02	0.02	0.01	0.01	0.01	0.01	0.03	0.03	0.02	0.01	0.01	0.01	0.02	0.01	0.04	0.01
NiO	0.05	0.04	0.01	0.04	0.05	0.05	0.04	0.04	0.05	0.04	0.04	0.03	0.04	0.02	0.04	0.05	0.05	0.06	0.05	0.02	0.04
Total	99.60	99.36	99.46	99.47	99.41	99.07	99.11	99.52	99.11	99.81	100.91	100.15	99.34	99.95	100.18	99.94	99.29	100.08	100.43	99.50	99.90
Structural formula based on the 6 oxygens																					
Si	1.94	1.91	1.94	1.91	1.92	1.91	1.92	1.92	1.95	1.89	1.93	1.94	1.94	1.92	1.89	1.90	1.94	1.89	1.93	1.92	1.93
Ti	0.01	0.01	0.01	0.01	0.01	0.01	0.01	0.01	0.01	0.01	0.01	0.01	0.01	0.01	0.01	0.01	0.01	0.01	0.01	0.01	0.01
Al <sub>IV</sub>	0.06	0.09	0.06	0.09	0.08	0.09	0.08	0.08	0.06	0.11	0.07	0.06	0.07	0.08	0.11	0.10	0.06	0.11	0.07	0.08	0.07
Al <sub>VI</sub>	0.11	0.14	0.12	0.12	0.12	0.13	0.14	0.12	0.17	0.13	0.12	0.13	0.12	0.16	0.17	0.11	0.09	0.14	0.14	0.13	
Cr	0.02	0.03	0.03	0.03	0.03	0.03	0.03	0.03	0.03	0.03	0.03	0.03	0.03	0.03	0.03	0.03	0.02	0.02	0.02	0.02	0.02
Fe <sup>2+</sup>	0.07	0.07	0.07	0.06	0.07	0.07	0.07	0.06	0.07	0.07	0.08	0.07	0.07	0.07	0.07	0.07	0.06	0.02	0.08	0.07	0.07
Fe <sup>3+</sup>	0.00	0.00	0.00	0.00	0.00	0.00	0.00	0.00	0.00	0.00	0.00	0.00	0.00	0.00	0.00	0.00	0.00	0.06	0.00	0.00	0.00
Mn	0.00	0.00	0.00	0.00	0.00	0.00	0.00	0.00	0.00	0.00	0.00	0.00	0.00	0.00	0.00	0.00	0.00	0.00	0.00	0.00	0.00
Mg	0.86	0.81	0.84	0.83	0.86	0.83	0.88	0.87	0.90	0.82	0.96	0.89	0.87	0.89	0.83	0.84	0.85	0.89	0.92	0.87	0.87
Ca	0.87	0.90	0.89	0.89	0.87	0.90	0.84	0.84	0.84	0.84	0.75	0.84	0.84	0.85	0.84	0.83	0.90	0.85	0.77	0.81	0.83
Na	0.05	0.04	0.04	0.05	0.04	0.04	0.05	0.04	0.05	0.05	0.04	0.04	0.05	0.04	0.06	0.05	0.04	0.07	0.07	0.08	0.07
K	0.00	0.00	0.00	0.00	0.00	0.00	0.00	0.00	0.00	0.00	0.00	0.00	0.00	0.00	0.00	0.00	0.00	0.00	0.00	0.00	0.00
Ni	0.00	0.00	0.00	0.00	0.00	0.00	0.00	0.00	0.00	0.00	0.00	0.00	0.00	0.00	0.00	0.00	0.00	0.00	0.00	0.00	0.00
Total	4.00	4.00	4.00	4.00	4.00	4.00	4.00	4.00	4.00	4.00	4.00	4.00	4.00	4.00	4.00	4.00	4.00	4.00	4.00	4.00	4.00
Mg#	0.93	0.92	0.93	0.93	0.92	0.93	0.93	0.93	0.92	0.92	0.93	0.93	0.93	0.92	0.92	0.94	0.98	0.92	0.93	0.93	0.93
Cr#	0.12	0.12	0.13	0.13	0.11	0.11	0.13	0.11	0.14	0.11	0.13	0.16	0.14	0.13	0.11	0.11	0.11	0.10	0.08	0.09	0.10

جدول ۳- ادامه.

Sample No.	355	355	355	507	507	507	507	507	507	507	507	507-1	507-1	507-1	
Analysis No.	46	47	48	1	2	3	4	5	55	70	71	72	56	57	58
SiO <sub>2</sub>	53.45	53.05	53.04	51.86	51.42	51.18	51.48	51.35	53.34	53.83	52.99	52.88	53.01	53.13	53.38
TiO <sub>2</sub>	0.28	0.31	0.34	0.25	0.32	0.31	0.33	0.35	0.30	0.32	0.35	0.36	0.30	0.27	0.29
Al <sub>2</sub> O <sub>3</sub>	4.77	5.12	4.75	4.20	5.00	4.85	4.37	4.91	5.02	5.08	6.01	5.90	5.25	5.39	5.29
Cr <sub>2</sub> O <sub>3</sub>	0.74	0.66	0.62	0.68	0.75	0.71	0.55	0.70	0.70	0.71	0.85	0.97	0.76	0.74	0.69
FeO	2.32	2.25	2.64	2.07	2.13	2.17	2.14	2.23	2.23	2.38	2.43	2.44	2.28	2.20	2.30
MnO	0.08	0.07	0.10	0.08	0.04	0.08	0.04	0.09	0.09	0.09	0.10	0.07	0.08	0.07	0.10
MgO	16.17	16.08	16.20	15.14	14.88	15.20	15.19	15.02	15.99	16.17	15.49	15.70	15.73	15.83	15.99
CaO	20.88	20.86	20.45	24.48	24.40	24.55	24.70	24.43	21.11	20.56	20.50	20.73	20.84	21.19	20.95
Na <sub>2</sub> O	1.01	1.07	1.02	1.09	1.11	1.06	1.03	1.01	1.03	1.09	1.15	1.04	1.02	1.06	1.08
K <sub>2</sub> O	0.01	0.03	0.01	0.04	0.02	0.02	0.02	0.00	0.01	0.02	0.01	0.01	0.00	0.01	0.02
NiO	0.04	0.02	0.03	0.05	0.03	0.03	0.05	0.05	0.06	0.05	0.03	0.03	0.05	0.04	0.03
Total	99.75	99.52	99.20	99.94	100.10	100.16	99.90	100.14	99.88	100.30	99.91	100.13	99.32	99.93	100.12
Structural formula based on the 6 oxygens															
Si	1.94	1.93	1.93	1.88	1.86	1.85	1.87	1.86	1.93	1.94	1.92	1.91	1.93	1.92	1.93
Ti	0.01	0.01	0.01	0.01	0.01	0.01	0.01	0.01	0.01	0.01	0.01	0.01	0.01	0.01	0.01
Al <sub>IV</sub>	0.06	0.08	0.07	0.12	0.14	0.15	0.13	0.14	0.07	0.06	0.08	0.09	0.07	0.08	0.07
Al <sub>VI</sub>	0.14	0.14	0.14	0.06	0.08	0.06	0.05	0.07	0.15	0.16	0.18	0.16	0.16	0.15	0.15
Cr	0.02	0.02	0.02	0.02	0.02	0.02	0.02	0.02	0.02	0.02	0.02	0.03	0.02	0.02	0.02
Fe <sup>2+</sup>	0.07	0.07	0.08	0.06	0.06	0.07	0.07	0.07	0.07	0.07	0.07	0.07	0.07	0.07	0.07
Fe <sup>3+</sup>	0.00	0.00	0.00	0.00	0.00	0.00	0.00	0.00	0.00	0.00	0.00	0.00	0.00	0.00	0.00
Mn	0.00	0.00	0.00	0.00	0.00	0.00	0.00	0.00	0.00	0.00	0.00	0.00	0.00	0.00	0.00
Mg	0.87	0.87	0.88	0.82	0.80	0.82	0.82	0.81	0.86	0.87	0.84	0.85	0.86	0.85	0.86
Ca	0.81	0.81	0.80	0.95	0.95	0.96	0.95	0.82	0.79	0.80	0.80	0.81	0.82	0.81	0.81
Na	0.07	0.08	0.07	0.08	0.08	0.07	0.07	0.07	0.07	0.08	0.08	0.07	0.07	0.07	0.08
K	0.00	0.00	0.00	0.00	0.00	0.00	0.00	0.00	0.00	0.00	0.00	0.00	0.00	0.00	0.00
Ni	0.00	0.00	0.00	0.00	0.00	0.00	0.00	0.00	0.00	0.00	0.00	0.00	0.00	0.00	0.00
Total	4.00	4.00	4.00	4.00	4.00	4.00	4.00	4.00	4.00	4.00	4.00	4.00	4.00	4.00	4.00
Mg#	0.93	0.93	0.92	0.93	0.93	0.93	0.93	0.92	0.93	0.92	0.92	0.93	0.93	0.93	0.93
Cr#	0.09	0.08	0.08	0.10	0.09	0.09	0.08	0.09	0.09	0.09	0.09	0.10	0.09	0.08	0.08

جدول ۴- نتایج آنالیز نقطه‌ای اسپینل‌های موجود در پریدوتیت‌های گوشه افیولیت انارک و محاسبه فرمول ساختاری آن‌ها

Sample No.	330	330	346	346	352	352	358	358	358	358	433	433	433	433	433	485	485	485	485
SiO <sub>2</sub>	0.02	0.06	0.01	0.02	0.01	0.00	0.03	0.00	0.02	0.04	0.00	0.01	0.02	0.01	0.00	0.01	0.00	0.02	0.01
TiO <sub>2</sub>	0.04	0.03	0.01	0.00	0.00	0.02	0.01	0.05	0.04	0.07	0.07	0.33	0.32	0.35	0.32	0.33	0.26	0.18	0.16
Al <sub>2</sub> O <sub>3</sub>	29.18	28.77	28.34	27.84	27.66	27.29	26.76	24.03	26.32	25.78	27.43	26.85	26.73	27.43	27.37	28.19	27.29	27.41	27.26
Cr <sub>2</sub> O <sub>3</sub>	39.79	39.59	39.71	40.23	40.91	41.32	41.75	41.86	39.59	40.28	38.12	38.99	39.39	37.88	38.50	37.82	38.57	39.96	39.98
FeO	15.83	15.73	13.96	13.88	14.21	14.11	14.18	19.11	18.64	18.56	19.58	18.73	18.53	19.61	19.72	19.07	18.89	15.95	15.85
MnO	0.30	0.27	0.26	0.25	0.27	0.28	0.25	0.31	0.33	0.31	0.34	0.32	0.33	0.55	0.30	0.29	0.30	0.28	0.30
MgO	15.07	15.48	16.86	16.74	15.96	15.69	16.09	13.69	14.11	14.02	13.54	13.72	13.80	13.41	13.57	13.41	13.94	15.41	15.51
CaO	0.02	0.01	0.02	0.01	0.03	0.00	0.01	0.01	0.00	0.01	0.00	0.01	0.01	0.00	0.00	0.01	0.03	0.00	0.00
Na <sub>2</sub> O	0.00	0.00	0.00	0.00	0.00	0.00	0.00	0.00	0.00	0.00	0.00	0.00	0.00	0.00	0.00	0.00	0.00	0.00	0.00
K <sub>2</sub> O	0.00	0.00	0.00	0.00	0.00	0.00	0.00	0.00	0.00	0.00	0.00	0.00	0.00	0.00	0.00	0.00	0.00	0.00	0.00
NiO	0.11	0.10	0.13	0.12	0.12	0.11	0.10	0.12	0.12	0.08	0.14	0.09	0.12	0.12	0.11	0.11	0.13	0.13	0.12
Total	100.36	100.04	99.30	99.09	99.17	99.09	99.18	99.19	99.17	99.19	99.16	99.10	99.22	99.37	99.90	99.22	99.38	99.32	99.22
Formula units based on 32 oxygens and Fe <sup>2+</sup> /Fe <sup>3+</sup> assuming full site occupancy																			
Si	0.01	0.01	0.00	0.01	0.00	0.01	0.01	0.01	0.00	0.00	0.01	0.00	0.00	0.00	0.00	0.01	0.00	0.00	0.00
Ti	0.01	0.01	0.00	0.00	0.00	0.01	0.01	0.01	0.01	0.01	0.06	0.06	0.06	0.06	0.05	0.03	0.03	0.05	0.04
Al	8.11	8.01	7.88	7.77	7.76	7.67	7.53	6.93	7.51	7.37	7.82	7.67	7.63	7.81	7.75	8.02	7.75	7.71	7.77
Cr	7.42	7.39	7.40	7.53	7.70	7.79	7.88	8.10	7.57	7.73	7.28	7.47	7.54	7.23	7.31	7.21	7.34	7.54	7.55
Fe <sub>2+</sub>	2.67	2.53	2.05	2.07	2.30	2.30	2.25	2.99	2.89	2.91	3.11	3.06	3.05	3.15	3.17	3.20	3.01	2.52	2.47
Fe <sub>3+</sub>	0.46	0.59	0.71	0.69	0.53	0.52	0.58	0.94	0.90	0.86	0.74	0.71	0.82	0.81	0.65	0.80	0.68	0.71	0.63
Mn	0.03	0.02	0.02	0.02	0.02	0.03	0.04	0.03	0.04	0.04	0.03	0.04	0.04	0.08	0.03	0.03	0.02	0.03	0.02
Mg	5.30	5.45	5.92	5.91	5.66	5.67	5.72	4.99	5.09	5.07	4.88	4.95	4.98	4.83	4.86	4.82	5.00	5.48	5.52
Ca	0.01	0.00	0.01	0.00	0.01	0.00	0.00	0.00	0.00	0.00	0.00	0.00	0.00	0.00	0.00	0.00	0.00	0.00	0.00
Na	0.00	0.00	0.00	0.00	0.00	0.00	0.00	0.00	0.00	0.00	0.00	0.00	0.00	0.00	0.00	0.00	0.00	0.00	0.00
K	0.00	0.00	0.00	0.00	0.00	0.00	0.00	0.00	0.00	0.00	0.00	0.00	0.00	0.00	0.00	0.00	0.00	0.00	0.00
Ni	0.02	0.02	0.03	0.02	0.02	0.02	0.02	0.02	0.03	0.02	0.02	0.02	0.02	0.02	0.02	0.02	0.03	0.03	0.02
Total	24.01	24.02	24.02	24.01	24.00	24.02	24.02	24.02	24.02	24.01	24.01	24.02	24.02	24.01	24.01	24.02	24.01	24.02	24.01
Mg#	0.67	0.68	0.74	0.74	0.71	0.72	0.63	0.64	0.64	0.61	0.62	0.61	0.60	0.62	0.69	0.69	0.68	0.69	0.69
Cr#	0.48	0.48	0.48	0.49	0.50	0.50	0.51	0.54	0.50	0.51	0.48	0.49	0.50	0.48	0.49	0.49	0.50	0.49</td	

جدول ۵- نتایج آنالیز نقطه‌ای کلینوپیروکسن‌های موجود در پریدوتیت‌های گوشته (لرزولیت) افیولیت عшин و محاسبه فرمول ساختاری آن‌ها

Sample No.	222	222	222	249	249	249	421	421	421	421	421	421	424	424	424	424	424	424	425	425	425	468	468	468	505	505	505
Analysis No.	1	2	3	1	2	3	1	2	3	4	5	1	2	3	4	5	6	1	2	3	1	2	3	1	2	3	
SiO <sub>2</sub>	52.15	15.93	52.04	52.65	52.14	52.53	51.72	52.33	52.86	51.99	51.82	52.50	0.08	52.48	51.84	52.52	52.46	52.38	51.40	52.31	52.72	52.53	53.17	52.16	52.57	52.51	
TiO <sub>2</sub>	0.38	0.31	0.36	0.08	0.03	0.05	0.52	0.44	0.50	0.43	0.42	0.05	0.05	0.08	0.08	0.04	0.55	0.53	0.55	0.06	0.08	0.03	0.29	0.26	0.22		
Al <sub>2</sub> O <sub>3</sub>	6.64	6.97	7.13	3.57	3.93	4.12	3.09	3.20	2.96	2.97	3.10	3.32	3.74	3.65	3.13	3.26	3.12	5.89	3.99	3.99	3.44	3.63	3.33	2.87	2.90	2.57	
Cr <sub>2</sub> O <sub>3</sub>	0.80	0.79	0.89	1.26	1.31	1.29	0.74	0.91	0.84	0.80	0.88	0.86	1.03	0.94	0.94	0.93	0.78	0.89	0.76	0.82	1.11	1.25	1.07	0.89	0.89	0.84	
FeO	2.59	2.40	2.45	2.15	2.43	2.50	4.03	3.74	4.24	3.71	3.49	2.34	2.45	2.47	2.27	2.31	2.34	2.44	2.35	2.47	2.10	1.98	1.97	2.97	3.10	2.60	
MnO	0.09	0.09	0.08	0.10	0.09	0.12	0.12	0.11	0.17	0.11	0.08	0.06	0.07	0.07	0.08	0.08	0.08	0.10	0.06	0.09	0.10	0.07	0.11	0.12	0.07	0.08	
MgO	15.66	14.86	15.17	16.89	16.84	17.29	17.06	16.63	17.03	16.25	16.16	0.02	17.24	17.40	17.57	17.04	17.38	17.24	16.03	16.79	16.21	16.72	16.71	16.84	17.42	17.25	17.29
CaO	20.78	21.61	21.28	23.12	22.66	22.15	22.03	22.41	21.36	22.78	23.02	23.51	23.01	22.60	23.62	22.76	23.00	22.66	23.01	22.99	23.64	23.68	23.38	23.03	23.00	23.53	
Na <sub>2</sub> O	1.14	1.18	1.12	0.12	0.11	0.08	0.29	0.36	0.27	0.36	0.34	0.10	0.07	0.08	0.08	0.10	0.06	0.63	0.56	0.06	0.06	0.29	0.33	0.29			
K <sub>2</sub> O	0.01	0.01	0.02	0.02	0.02	0.01	0.02	0.00	0.01	0.02	0.01	0.01	0.01	0.01	0.02	0.03	0.01	0.00	0.02	0.02	0.01	0.00	0.02	0.01	0.00	0.02	
NiO	0.02	0.05	0.04	0.05	0.06	0.05	0.02	0.02	0.04	0.02	0.03	0.05	0.07	0.05	0.05	0.04	0.04	0.03	0.02	0.06	0.04	0.06	0.04	0.01	0.03		
Total	100.3	100.2	100.6	100.0	99.6	100.2	100.3	99.4	99.2	99.6	100.4	99.3	100.1	99.4	99.1	100.6	100.9	100.1	100.0	100.1	100.0	100.1	100.0	100.0	100.0		
Structural formula based on the 6 oxygens																											
Si	1.88	1.88	1.87	1.91	1.90	1.90	1.89	1.90	1.92	1.91	1.91	1.90	1.89	1.92	1.91	1.92	1.85	1.89	1.90	1.92	1.91	1.93	1.89	1.90	1.91		
Ti	0.01	0.01	0.01	0.00	0.00	0.01	0.01	0.01	0.01	0.00	0.00	0.00	0.00	0.00	0.00	0.00	0.02	0.01	0.02	0.00	0.00	0.00	0.01	0.01	0.01		
Al <sup>IV</sup>	0.12	0.12	0.13	0.09	0.10	0.10	0.11	0.10	0.08	0.09	0.10	0.10	0.11	0.08	0.09	0.08	0.15	0.11	0.10	0.08	0.09	0.07	0.11	0.11	0.09		
Al <sup>VI</sup>	0.16	0.17	0.18	0.07	0.07	0.08	0.02	0.04	0.05	0.04	0.04	0.04	0.06	0.05	0.05	0.05	0.05	0.10	0.06	0.07	0.07	0.08	0.01	0.02	0.02		
Cr	0.02	0.02	0.03	0.04	0.04	0.04	0.02	0.03	0.02	0.02	0.03	0.03	0.03	0.03	0.03	0.03	0.02	0.03	0.02	0.03	0.04	0.03	0.03	0.03	0.02		
Fe <sup>2+</sup>	0.08	0.07	0.07	0.07	0.07	0.08	0.07	0.08	0.13	0.08	0.08	0.03	0.06	0.04	0.06	0.06	0.06	0.04	0.03	0.06	0.06	0.06	0.02	0.02	0.02		
Fe <sup>3+</sup>	0.00	0.00	0.00	0.00	0.00	0.00	0.00	0.00	0.03	0.00	0.03	0.03	0.05	0.02	0.04	0.01	0.01	0.03	0.04	0.02	0.00	0.00	0.07	0.07	0.06		
Mn	0.00	0.00	0.00	0.00	0.00	0.00	0.00	0.00	0.00	0.00	0.00	0.00	0.00	0.00	0.00	0.00	0.00	0.00	0.00	0.00	0.00	0.00	0.00	0.00	0.00		
Mg	0.84	0.80	0.81	0.92	0.92	0.94	0.93	0.90	0.92	0.89	0.88	0.94	0.94	0.96	0.92	0.95	0.94	0.86	0.90	0.88	0.91	0.91	0.91	0.94	0.93	0.94	
Ca	0.80	0.84	0.82	0.90	0.89	0.86	0.87	0.83	0.90	0.91	0.92	0.89	0.88	0.92	0.89	0.90	0.88	0.90	0.89	0.90	0.92	0.91	0.90	0.92	0.90		
Na	0.08	0.08	0.08	0.01	0.01	0.02	0.03	0.02	0.03	0.02	0.01	0.01	0.01	0.01	0.01	0.01	0.01	0.04	0.04	0.04	0.00	0.00	0.02	0.02	0.02		
K	0.00	0.00	0.00	0.00	0.00	0.00	0.00	0.00	0.00	0.00	0.00	0.00	0.00	0.00	0.00	0.00	0.00	0.00	0.00	0.00	0.00	0.00	0.00	0.00	0.00		
Ni	0.00	0.00	0.00	0.00	0.00	0.00	0.00	0.00	0.00	0.00	0.00	0.00	0.00	0.00	0.00	0.00	0.00	0.00	0.00	0.00	0.00	0.00	0.00	0.00	0.00		
Total	4.00	4.00	4.00	4.00	4.00	4.00	4.00	4.00	4.00	4.00	4.00	4.00	4.00	4.00	4.00	4.00	4.00	4.00	4.00	4.00	4.00	4.00	4.00	4.00	4.00		
Mg#	0.92	0.92	0.92	0.93	0.93	0.93	0.93	0.92	0.88	0.92	0.92	0.97	0.95	0.96	0.94	0.94	0.94	0.95	0.97	0.94	0.93	0.94	0.94	0.98	0.98	0.98	
Cr#	0.08	0.07	0.08	0.19	0.18	0.17	0.14	0.16	0.16	0.15	0.16	0.15	0.15	0.17	0.16	0.15	0.09	0.12	0.12	0.18	0.19	0.18	0.17	0.17	0.18		

جدول ۷- نتایج آنالیز نقطه‌ای اسپینل‌های موجود در پریدوتیت‌های گوشته افیولیت عшин و محاسبه فرمول ساختاری آن‌ها

Sample No.	222	249	424	425	473	399	400	504	505	505-5	506
Rock Type*	L	L	L	L	L	H	H	H	D	D	D
SiO <sub>2</sub>	0.00	0.01	0.01	0.00	0.00	0.00	0.00	0.02	0.00	0.00	0.01
TiO <sub>2</sub>	0.02	0.04	0.04	0.12	0.06	0.15	0.13	0.07	0.42	0.53	0.37
Al <sub>2</sub> O <sub>3</sub>	58.27	39.22	40.08	55.14	55.45	29.44	29.11	32.87	27.07	26.11	29.17
Cr <sub>2</sub> O <sub>3</sub>	9.06	27.82	26.9	10.87	10.68	36.62	37.21	35.02	36.51	36.93	36.16
FeO*	11.31	15.73	15.8	12.43	13.71	17.08	15.71	15.46	22.85	23.69	19.12
MnO	0.15	0.24	0.24	0.19	0.1	0.26	0.26	0.24	0.38	0.34	0.31
MgO	20.61	16.48	17.02	20.8	19.78	16.45	16.96	16.35	12.15	12.2	14.26
CaO	0.01	0.01	0.01	0.00	0.02	0.00	0.01	0.01	0.03	0.00	
Na <sub>2</sub> O	0.01	0.01	0.01	0.02	0.00	0.00	0.00	0.02	0.00	0.01	0.01
K <sub>2</sub> O	0.02	0.02	0.03	0.02	0.01	0.02	0.02	0.01	0.02	0.00	0.01
NiO	0.36	0.17	0.18	0.30	0.35	0.15	0.17	0.13	0.08	0.09	0.11
Total	99.84	99.75	100.3	99.88	100.17	100.19	99.57	100.18	99.52	99.92	99.52
Structural formula based on the 32 oxygens											
Si	0.00	0.00	0.00	0.00	0.00	0.00	0.00	0.00	0.00	0.00	0.00
Ti	0.00	0.01	0.01	0.02	0.01	0.03	0.02	0.01	0.08	0.10	0.07
Al	14.16	10.45	10.56	13.51	13.63	8.10	8.04	8.95	7.77	7.49	8.19
Cr	1.48	4.97	4.75	1.79	1.76	6.76	6.89	6.39	7.03	7.11	6.81
Fe <sup>2+</sup>	1.60	2.41	2.29	1.51	1.81	2.29	2.08	2.36	3.64	3.66	2.97
Fe <sup>3+</sup>	0.36	0.57	0.67	0.66	0.59	1.07	1.01	0.63	1.03	1.19	0.85
Mn	0.02	0.03	0.03	0.03	0.01	0.					

جدول -۸- نتایج آنالیز نقطه‌ای اسپینل‌های موجود در کرومیتیت‌های افیولیت عشین و محاسبه فرمول ساختاری آن‌ها

Sample No.	320	320	320	320	320	320	320	426	426	426	426	426	426	426	426	426	426	
SiO <sub>2</sub>	0.00	0.00	0.01	0.03	0.00	0.02	0.02	0.00	0.01	0.03	0.00	0.00	0.03	0.00	0.00	0.00	0.02	
TiO <sub>2</sub>	0.19	0.18	0.20	0.17	0.20	0.18	0.17	0.15	0.17	0.15	0.18	0.14	0.16	0.14	0.12	0.16	0.18	
Al <sub>2</sub> O <sub>3</sub>	27.39	27.83	28.18	28.16	27.72	27.72	28.06	28.12	28.71	28.48	28.73	28.72	28.74	28.17	28.64	28.58	28.69	28.66
Cr <sub>2</sub> O <sub>3</sub>	39.64	39.54	39.15	39.24	39.48	40.16	39.34	39.49	38.23	38.54	38.52	38.69	38.80	38.23	38.58	38.43	38.85	38.36
FeO	13.25	13.00	13.73	13.09	14.10	14.34	13.44	12.81	14.45	14.43	13.26	13.32	14.10	14.07	13.82	13.45	13.88	13.46
MnO	0.23	0.26	0.23	0.23	0.20	0.23	0.22	0.24	0.23	0.23	0.22	0.21	0.19	0.21	0.22	0.24	0.21	0.22
MgO	18.17	18.13	17.56	18.05	17.49	17.36	17.68	18.08	17.12	17.21	18.06	18.62	17.77	17.31	17.74	17.62	17.44	18.05
CaO	0.03	0.00	0.01	0.00	0.00	0.01	0.01	0.02	0.01	0.01	0.01	0.00	0.02	0.00	0.00	0.00	0.00	0.00
Na <sub>2</sub> O	0.02	0.00	0.00	0.01	0.02	0.00	0.00	0.01	0.00	0.00	0.03	0.00	0.02	0.01	0.00	0.00	0.00	0.00
K <sub>2</sub> O	0.02	0.03	0.02	0.01	0.00	0.01	0.03	0.01	0.01	0.00	0.02	0.00	0.02	0.02	0.01	0.02	0.00	0.00
NiO	0.21	0.23	0.23	0.21	0.17	0.18	0.22	0.20	0.15	0.18	0.19	0.20	0.18	0.18	0.21	0.20	0.17	0.20
Total	99.15	99.20	99.32	99.20	99.38	100.21	99.19	99.15	99.08	99.24	99.25	99.90	99.99	98.37	99.34	98.70	99.36	99.15
Formula units based on 32 oxygens and Fe <sup>2+</sup> /Fe <sup>3+</sup> assuming full site occupancy																		
Si	0.00	0.00	0.00	0.00	0.00	0.00	0.00	0.00	0.00	0.00	0.00	0.00	0.00	0.00	0.00	0.00	0.00	0.00
Ti	0.03	0.03	0.04	0.03	0.04	0.03	0.03	0.03	0.03	0.03	0.03	0.02	0.03	0.03	0.02	0.03	0.02	0.03
Al	7.59	7.69	7.80	7.78	7.68	7.64	7.77	7.77	7.97	7.89	7.92	7.84	7.89	7.87	7.90	7.93	7.93	7.90
Cr	7.36	7.33	7.27	7.27	7.34	7.42	7.31	7.32	7.11	7.16	7.12	7.08	7.14	7.16	7.14	7.15	7.20	7.09
Fe <sup>2+</sup>	1.65	1.66	1.86	1.70	1.89	1.96	1.81	1.68	2.01	1.97	1.72	1.58	1.85	1.89	1.81	1.81	1.91	1.72
Fe <sup>3+</sup>	0.97	0.90	0.85	0.88	0.89	0.86	0.85	0.85	0.85	0.88	0.89	1.01	0.91	0.91	0.91	0.85	0.82	0.93
Mn	0.01	0.02	0.02	0.01	0.01	0.01	0.01	0.02	0.02	0.02	0.01	0.01	0.01	0.01	0.02	0.01	0.01	0.01
Mg	6.36	6.34	6.14	6.30	6.13	6.05	6.19	6.32	6.00	6.03	6.29	6.43	6.16	6.11	6.19	6.18	6.09	6.29
Ca	0.00	0.00	0.00	0.00	0.00	0.00	0.00	0.00	0.00	0.00	0.00	0.00	0.00	0.00	0.00	0.00	0.00	0.00
Na	0.00	0.00	0.00	0.00	0.00	0.00	0.00	0.00	0.00	0.00	0.00	0.00	0.00	0.00	0.00	0.00	0.00	0.00
K	0.00	0.00	0.00	0.00	0.00	0.00	0.00	0.00	0.00	0.00	0.00	0.00	0.00	0.00	0.00	0.00	0.00	0.00
Ni	0.04	0.04	0.04	0.04	0.03	0.03	0.04	0.04	0.03	0.03	0.04	0.04	0.03	0.03	0.04	0.04	0.03	0.04
Total	24.02	24.01	24.01	24.01	24.01	24.01	24.01	24.01	24.01	24.01	24.01	24.02	24.01	24.01	24.01	24.01	24.01	24.01
Mg#	0.79	0.79	0.77	0.79	0.76	0.76	0.77	0.79	0.75	0.75	0.79	0.80	0.77	0.76	0.77	0.76	0.76	0.79
Cr#	0.49	0.49	0.48	0.48	0.49	0.49	0.49	0.49	0.47	0.48	0.47	0.48	0.48	0.48	0.48	0.47	0.48	0.47
Fe <sup>3+</sup> #	0.06	0.06	0.05	0.06	0.06	0.05	0.05	0.05	0.06	0.06	0.06	0.06	0.06	0.06	0.05	0.05	0.06	0.06

جدول -۸- ادامه.

Sample No.	453	453	453	453	453	453	453	453	478	478	478	478	478	478	478	478	478	478
SiO <sub>2</sub>	0.02	0.00	0.00	0.02	0.00	0.00	0.00	0.00	0.00	0.00	0.00	0.00	0.00	0.01	0.02	0.00	0.00	0.00
TiO <sub>2</sub>	0.32	0.32	0.32	0.31	0.32	0.33	0.34	0.29	0.16	0.19	0.16	0.19	0.17	0.16	0.16	0.14	0.16	0.16
Al <sub>2</sub> O <sub>3</sub>	21.83	22.11	22.03	21.81	21.90	21.98	21.85	21.77	28.14	28.27	28.36	28.13	28.49	28.26	28.08	28.05	28.40	28.40
Cr <sub>2</sub> O <sub>3</sub>	43.30	43.19	43.16	43.39	43.51	43.40	43.37	43.59	38.84	38.83	39.05	39.03	39.41	39.34	38.94	39.08	38.59	38.59
FeO	17.33	17.47	17.26	17.45	17.32	17.44	17.36	17.56	13.62	13.31	13.36	13.28	13.75	13.90	13.47	13.13	13.50	13.50
MnO	0.27	0.31	0.31	0.30	0.33	0.28	0.30	0.30	0.24	0.22	0.26	0.19	0.21	0.24	0.23	0.22	0.24	0.24
MgO	15.84	15.69	15.94	15.66	15.52	15.61	15.73	15.42	18.02	18.12	17.90	18.22	17.56	17.68	18.08	18.37	18.04	18.04
CaO	0.01	0.00	0.00	0.01	0.01	0.01	0.03	0.01	0.00	0.03	0.00	0.01	0.00	0.01	0.00	0.01	0.00	0.00
Na <sub>2</sub> O	0.00	0.03	0.00	0.00	0.01	0.00	0.00	0.02	0.00	0.00	0.00	0.00	0.00	0.00	0.00	0.01	0.01	0.01
K <sub>2</sub> O	0.04	0.00	0.02	0.00	0.01	0.02	0.00	0.00	0.02	0.01	0.00	0.01	0.02	0.02	0.01	0.02	0.01	0.01
NiO	0.17	0.17	0.14	0.13	0.18	0.13	0.18	0.13	0.16	0.18	0.20	0.20	0.17	0.16	0.18	0.20	0.16	0.16
Total	99.13	99.29	99.18	99.08	99.11	99.20	99.16	99.09	99.20	99.16	99.19	99.26	99.78	99.76	99.17	99.24	99.11	99.11
Formula units based on 32 oxygens and Fe <sup>2+</sup> /Fe <sup>3+</sup> assuming full site occupancy																		
Si	0.00	0.00	0.00	0.00	0.00	0.00	0.00	0.00	0.00	0.00	0.00	0.00	0.00	0.00	0.00	0.00	0.00	0.00
Ti	0.06	0.06	0.06	0.06	0.06	0.06	0.05	0.03	0.03	0.03	0.03	0.03	0.03	0.03	0.03	0.03	0.03	0.03
Al	6.27	6.34	6.31	6.27	6.30	6.31	6.28	6.27	7.77	7.80	7.83	7.76	7.85	7.79	7.76	7.73	7.84	7.84
Cr	8.34	8.30	8.29	8.37	8.39	8.36	8.35	8.42	7.19	7.19	7.21	7.22	7.28	7.27	7.21	7.22	7.14	7.14
Fe <sup>2+</sup>	2.31	2.36	2.28	2.36	2.39	2.34	2.34	2.43	1.72	1.69	1.75	1.67	1.89	1.85	1.70	1.60	1.71	1.71
Fe <sup>3+</sup>	1.25	1.22	1.25	1.22	1.17	1.19	1.22	1.18	0.96	0.93	0.89	0.95	0.80	0.88	0.96	0.98	0.95	0.95
Mn	0.02	0.03	0.03	0.03	0.02	0.03	0.03	0.02	0.01	0.02	0.01	0.01	0.02	0.02	0.01	0.02	0.01	0.02
Mg	5.75	5.69	5.77	5.69	5.64	5.67	5.71	5.62	6.29	6.32	6.25	6.35	6.11	6.16	6.31	6.40	6.30	6.30
Ca	0.00	0.00	0.00	0.00	0.00	0.00	0.00	0.00	0.00	0.00	0.00	0.00	0.00	0.00	0.00	0.00	0.00	0.00
Na	0.00	0.00	0.00	0.00	0.00	0.00	0.00	0.00	0.00	0.00	0.00	0.00	0.00	0.00	0.00	0.00	0.00	0.00
K	0.00	0.00	0.00	0.00	0.00	0.00	0.00	0.00	0.00	0.00	0.00	0.00	0.00	0.00	0.00	0.00	0.00	0.00
Ni	0.03	0.03	0.03	0.03	0.04	0.03	0.04	0.03	0.03	0.03	0.04	0.04	0.03	0.03	0.03	0.04	0.03	0.03
Total	24.03	24.02	24.03	24.02	24.02	24.02	24.02	24.02	24.02	24.02	24.01	24.01	24.01	24.01	24.01	24.02	24.02</td	

جدول ۹- نتایج آنالیز نقطه‌ای کلینوپیروکسن‌های موجود در پریدوتیت‌های گوشه (لرزولیت) افیولیت جندق و محاسبه فرمول ساختاری آن‌ها

Sample No.	716	716	716	716	716	716	716	716	716	716	716	716	717	717	717
Analysis No.	58	60	61	66	68	69	73	74	76	77	78	79	1	2	3
SiO <sub>2</sub>	52.14	50.96	51.90	51.95	51.61	51.15	52.17	52.42	51.24	51.34	51.24	52.10	51.92	53.87	52.92
TiO <sub>2</sub>	0.40	0.47	0.29	0.39	0.43	0.52	0.32	0.35	0.38	0.44	0.46	0.61	0.20	0.23	0.27
Al <sub>2</sub> O <sub>3</sub>	3.36	4.98	4.09	2.98	3.26	3.34	2.84	2.34	4.43	4.62	4.53	3.45	6.49	4.62	5.06
Cr <sub>2</sub> O <sub>3</sub>	1.19	1.31	1.07	1.12	1.13	0.92	0.82	0.71	1.24	1.18	1.26	0.98	1.16	1.01	0.84
FeO*	3.48	3.60	3.74	3.36	3.52	3.80	3.42	3.46	3.49	3.55	3.45	3.70	2.41	2.27	2.16
MnO	0.08	0.13	0.14	0.12	0.12	0.19	0.15	0.17	0.07	0.10	0.11	0.12	0.09	0.11	0.08
MgO	16.42	15.41	16.48	16.71	16.36	16.22	16.73	17.07	16.15	15.94	15.79	16.69	15.24	17.46	15.83
CaO	22.75	23.02	22.86	23.01	23.14	23.17	23.27	23.22	23.08	23.28	23.41	22.22	21.60	19.68	21.68
Na <sub>2</sub> O	0.43	0.42	0.42	0.40	0.36	0.35	0.39	0.33	0.35	0.34	0.31	0.37	0.71	0.57	0.82
K <sub>2</sub> O	0.00	0.00	0.00	0.00	0.00	0.00	0.01	0.01	0.00	0.00	0.00	0.00	0.01	0.01	0.03
NiO	0.00	0.00	0.00	0.00	0.00	0.00	0.00	0.00	0.00	0.00	0.00	0.00	0.04	0.04	0.05
Total	100.25	100.30	100.94	100.04	99.93	99.66	100.12	100.08	100.43	100.79	100.56	100.24	99.87	99.88	99.75
Structural formula based on 6 oxygens															
Si	1.90	1.86	1.87	1.89	1.88	1.87	1.90	1.91	1.86	1.86	1.86	1.90	1.89	1.95	1.92
Ti	0.01	0.01	0.01	0.01	0.01	0.01	0.01	0.01	0.01	0.01	0.01	0.02	0.01	0.01	0.01
Al <sup>IV</sup>	0.10	0.14	0.13	0.11	0.12	0.13	0.10	0.09	0.14	0.14	0.14	0.11	0.11	0.05	0.08
Al <sup>VI</sup>	0.04	0.07	0.05	0.02	0.02	0.02	0.02	0.01	0.05	0.06	0.06	0.04	0.17	0.15	0.14
Cr	0.03	0.04	0.03	0.03	0.03	0.03	0.02	0.02	0.04	0.03	0.04	0.03	0.03	0.03	0.02
Fe <sup>2+</sup>	0.07	0.07	0.05	0.04	0.05	0.04	0.03	0.03	0.05	0.06	0.06	0.09	0.07	0.07	0.07
Fe <sup>3+</sup>	0.04	0.04	0.07	0.06	0.06	0.08	0.07	0.07	0.06	0.05	0.04	0.03	0.00	0.00	0.00
Mn	0.00	0.00	0.00	0.00	0.00	0.01	0.01	0.01	0.00	0.00	0.00	0.00	0.00	0.00	0.00
Mg	0.89	0.84	0.89	0.91	0.89	0.89	0.91	0.93	0.87	0.86	0.86	0.91	0.83	0.94	0.86
Ca	0.89	0.90	0.88	0.90	0.91	0.91	0.91	0.91	0.90	0.90	0.91	0.87	0.84	0.76	0.84
Na	0.03	0.03	0.03	0.03	0.03	0.03	0.03	0.02	0.03	0.02	0.02	0.03	0.05	0.04	0.06
K	0.00	0.00	0.00	0.00	0.00	0.00	0.00	0.00	0.00	0.00	0.00	0.00	0.00	0.00	0.00
Ni	0.00	0.00	0.00	0.00	0.00	0.00	0.00	0.00	0.00	0.00	0.00	0.00	0.00	0.00	0.00
Sum	4.00	4.00	4.00	4.00	4.00	4.00	4.00	4.00	4.00	4.00	4.00	4.00	4.00	4.00	4.00
Mg#	0.93	0.92	0.95	0.96	0.95	0.96	0.97	0.97	0.95	0.94	0.93	0.91	0.92	0.93	0.93
Cr#	0.19	0.15	0.15	0.20	0.19	0.16	0.17	0.17	0.16	0.15	0.16	0.16	0.11	0.13	0.10

جدول ۱۰: نتایج آنالیز نقطه‌ای اسپینل‌های موجود در پریدوتیت‌های گوشه افیولیت جندق و محاسبه فرمول ساختاری آن‌ها

Sample No.	685-4	685-4	685-4	685-4	685-4	685-4	689	689	689	750	750	750	750	750	750	750	750	750	750	750	750	750	750	750	554	555	783	791		
SiO <sub>2</sub>	0.00	0.00	0.00	0.00	0.00	0.00	0.00	0.00	0.00	0.00	0.00	0.00	0.00	0.00	0.00	0.00	0.00	0.00	0.00	0.00	0.00	0.00	0.00	0.08	0.20	0.14	0.25			
TiO <sub>2</sub>	0.00	0.01	0.02	0.01	0.02	0.02	0.05	0.05	0.39	0.37	0.37	0.38	0.37	0.36	0.37	0.35	0.34	0.38	0.36	0.38	0.40	0.42	0.41							
Al <sub>2</sub> O <sub>3</sub>	19.75	19.60	19.02	19.18	19.64	22.53	22.38	21.90	26.99	26.82	26.84	26.98	26.86	26.79	27.03	26.84	27.09	26.81	27.17	28.42	28.31	29.04	28.70							
Cr <sub>2</sub> O <sub>3</sub>	45.35	45.25	44.41	44.35	45.06	44.10	44.18	43.68	36.85	36.86	36.29	36.83	36.79	36.50	36.06	36.47	35.79	36.55	35.99	35.47	37.18	36.72	35.68							
FeO	23.16	23.48	24.63	25.23	23.47	17.89	18.64	20.38	19.04	19.61	20.81	19.90	20.30	20.61	20.36	20.79	20.74	20.41	19.82	20.37	19.91	20.17	19.78							
MnO	0.21	0.27	0.38	0.36	0.19	0.15	0.09	0.20	0.66	0.65	0.59	0.58	0.60	0.68	0.64	0.53	0.69	0.67	0.67	0.73	0.69	0.67	0.67	0.77						
MgO	9.17	9.12	7.94	7.74	9.05	12.14	12.10	10.78	12.77	12.96	12.39	12.64	12.58	12.33	12.56	12.20	12.44	12.39	12.75	13.54	12.70	13.41	12.94							
CaO	0.01	0.00	0.00	0.04	0.02	0.02	0.01	0.01	0.00	0.00	0.01	0.00	0.01	0.03	0.00	0.02	0.00	0.00	0.03	0.01	0.04									
Na <sub>2</sub> O	0.02	0.00	0.00	0.04	0.02	0.01	0.06	0.01	0.08	0.02	0.01	0.05	0.00	0.01	0.01	0.00	0.03	0.04	0.02	0.04	0.10	0.09	0.07							
K <sub>2</sub> O	0.01	0.04	0.02	0.03	0.00	0.00	0.01	0.02	0.00	0.01	0.01	0.00	0.02	0.00	0.01	0.00	0.01	0.00	0.01	0.00	0.01	0.02	0.00	0.00	0.00	0.00	0.00			
NiO	0.00	0.00	0.00	0.00	0.00	0.00	0.00	0.00	0.21	0.23	0.26	0.16	0.25	0.16	0.10	0.23	0.18	0.20	0.13	0.18	0.13	0.17	0.21							
Total	97.68	97.77	96.42	96.98	97.47	96.86	97.50	97.02	97.52	97.57	97.53	97.79	97.46	97.14	97.45	97.30	97.48	96.91	99.20	99.68	100.58	98.57								
Formula units based on 32 oxygens and Fe <sup>2+</sup> /Fe <sup>3+</sup> assuming full site occupancy																														
Si	0.00	0.00	0.00	0.00	0.00	0.00	0.00	0.00	0.00	0.00	0.00	0.00	0.03	0.00	0.00	0.00	0.00	0.00	0.00	0.00	0.00	0.00	0.00	0.08	0.20	0.14	0.25			
Ti	0.00	0.00	0.00	0.00	0.00	0.01	0.01	0.07	0.07	0.07	0.07	0.07	0.07	0.07	0.07	0.07	0.06	0.07	0.07	0.07	0.07	0.07	0.07	0.08	0.08	0.08	0.08			
Al <sup>IV</sup>	6.06	6.02	5.97	6.00	6.05	6.75	6.67	6.63	7.89	7.79	7.82	7.86	7.81	7.82	7.89	7.84	7.90	7.83	7.94	8.06	8.05	8.12	8.19							
Al <sup>VI</sup>	9.33	9.31	9.35	9.30	9.30	8.86	8.83	8.86	7.22	7.18	7.09	7.19	7.17	7.15	7.06	7.15	7.00	7.16	7.05	6.75	7.09	6.89	6.83							
Cr	4.45	4.46	4.82	4.94	4.49	3.42	3.47	3.89	3.22	3.18	3.39	3.32	3.33	3.40	3.33	3.46	3.35	3.37	3.25	3.08	3.41	3.23	3.30							
Fe <sup>2+</sup>	0.60	0.66	0.67	0.69	0.64	0.39	0.47	0.49	0.73	0.87	0.93	0.80	0.87	0.88	0.90	0.87	0.95	0.87	0.87	1.02	0.61	0.78	0.71	0.71						
Fe <sup>3+</sup>	0.01	0.02	0.05	0.04	0.00	0.00	0.01	0.11	0.11	0.09	0.09	0.10	0.11	0.10	0.08	0.12	0.11	0.15	0.14	0.14	0.03	0.04	0.03	0.04						

جدول ۱۱- نتایج آنالیز نقطه‌ای کلینوپیروکسن‌ها در پریدوتیت‌های گوشته افیولیت نایین و محاسبه فرمول ساختاری آن‌ها (پیرنیا، ۱۳۸۶)

Rock Type Sample No.	Lherzolite (18)				Lherzolite (19)					Chromitite (20)			Harzburgite (21)					
	1	2	3	4	1	2	3	4	5	1	2	3	1	2	3	4	5	
SiO <sub>2</sub>	51.75	50.98	50.82	50.96	51.68	50.71	50.28	51.15	50.82	51.27	52.24	52.47	52.78	52.52	52.92	52.71	53.28	
TiO <sub>2</sub>	0.16	0.09	0.21	0.09	0.20	0.21	0.16	0.15	0.19	0.02	0.05	0.11	0.26	0.29	0.26	0.29	0.25	
Al <sub>2</sub> O <sub>3</sub>	5.11	5.53	5.94	5.49	5.63	6.12	5.52	5.70	5.62	3.49	3.46	3.40	2.57	2.97	3.12	3.17	2.55	
Cr <sub>2</sub> O <sub>3</sub>	0.87	1.08	1.17	1.15	1.05	1.12	1.17	1.06	1.10	1.17	1.10	1.00	0.92	1.05	1.04	1.12	0.72	
FeO	3.71	3.75	2.76	3.08	2.89	2.95	2.75	3.28	2.84	2.86	2.69	2.93	2.67	3.10	2.96	2.88	2.31	
MnO	0.09	0.06	0.09	0.12	0.11	0.14	0.15	0.12	0.09	0.11	0.07	0.04	0.13	0.13	0.09	0.12	0.04	
MgO	18.99	18.85	16.48	17.26	16.71	16.73	16.22	17.90	18.07	19.22	18.32	20.48	16.83	17.05	16.82	16.78	16.67	
CaO	17.97	18.71	22.06	20.42	21.28	20.60	22.44	19.45	20.92	21.68	21.90	18.94	23.15	22.79	23.18	22.57	24.39	
Na <sub>2</sub> O	0.35	0.31	0.46	0.36	0.44	0.41	0.42	0.37	0.34	0.18	0.17	0.15	0.27	0.30	0.34	0.35	0.25	
K <sub>2</sub> O	0.00	0.01	0.00	0.03	0.00	0.00	0.00	0.00	0.00	0.00	0.00	0.00	0.00	0.02	0.00	0.00	0.01	
NiO	0.11	0.09	0.04	0.04	0.01	0.06	0.04	0.07	0.07	0.06	0.08	0.04	0.02	0.03	0.03	0.05	0.02	
Total	99.10	99.44	100.03	99.00	100.00	99.04	99.14	99.24	100.06	100.06	100.08	99.56	99.61	100.23	100.77	100.04	100.49	
Structural formula based on the 6 oxygens																		
Si	1.88	1.85	1.84	1.86	1.87	1.85	1.84	1.86	1.83	1.85	1.89	1.89	1.93	1.91	1.91	1.92	1.93	
Ti	0.00	0.00	0.01	0.00	0.01	0.01	0.00	0.00	0.01	0.00	0.00	0.00	0.01	0.01	0.01	0.01	0.01	
Al <sup>IV</sup>	0.12	0.15	0.16	0.14	0.13	0.15	0.16	0.14	0.17	0.15	0.11	0.11	0.07	0.09	0.09	0.08	0.07	
Al <sup>VI</sup>	0.10	0.08	0.10	0.10	0.11	0.12	0.08	0.11	0.07	0.00	0.04	0.04	0.04	0.03	0.04	0.05	0.04	
Cr	0.03	0.03	0.03	0.03	0.03	0.03	0.03	0.03	0.03	0.03	0.03	0.03	0.03	0.03	0.03	0.03	0.02	
Fe <sup>2+</sup>	0.10	0.06	0.03	0.07	0.09	0.08	0.02	0.08	0.01	0.09	0.03	0.04	0.07	0.06	0.06	0.08	0.04	
Fe <sup>3+</sup>	0.01	0.06	0.05	0.03	0.00	0.01	0.07	0.02	0.08	0.00	0.06	0.05	0.01	0.04	0.03	0.01	0.02	
Mn	0.00	0.00	0.00	0.00	0.00	0.00	0.00	0.00	0.00	0.00	0.00	0.00	0.00	0.00	0.00	0.00	0.00	
Mg	1.03	1.02	0.89	0.94	0.90	0.91	0.89	0.97	0.97	1.03	0.99	1.10	0.92	0.92	0.91	0.91	0.90	
Ca	0.70	0.73	0.86	0.80	0.83	0.81	0.88	0.76	0.81	0.84	0.85	0.73	0.91	0.89	0.90	0.88	0.95	
Na	0.02	0.02	0.03	0.03	0.03	0.03	0.03	0.03	0.02	0.01	0.01	0.01	0.02	0.02	0.02	0.03	0.02	
K	0.00	0.00	0.00	0.00	0.00	0.00	0.00	0.00	0.00	0.00	0.00	0.00	0.00	0.00	0.00	0.00	0.00	
Ni	0.00	0.00	0.00	0.00	0.00	0.00	0.00	0.00	0.00	0.00	0.00	0.00	0.00	0.00	0.00	0.00	0.00	
Sum	4.00	4.00	4.00	4.00	4.00	4.00	4.00	4.00	4.00	4.00	4.00	4.00	4.00	4.00	4.00	4.00	4.00	
Mg#	0.91	0.95	0.96	0.93	0.91	0.92	0.98	0.92	0.99	0.92	0.97	0.97	0.93	0.94	0.93	0.92	0.96	
Cr#	0.10	0.12	0.12	0.12	0.11	0.11	0.13	0.11	0.12	0.18	0.17	0.17	0.20	0.19	0.18	0.19	0.16	

جدول ۱۳- نتایج آنالیز نقطه‌ای اسپینل‌های موجود در کرومیتیت‌های افیولیت نایین و محاسبه فرمول ساختاری آن‌ها (پیرنیا، ۱۳۸۶).

Sample No.	20	20	20	20	20	20	20	42	42
SiO <sub>2</sub>	0.00	0.00	0.00	0.04	0.00	0.01	0.26	0.13	
TiO <sub>2</sub>	0.20	0.23	0.18	0.21	0.19	0.19	0.26		
Al <sub>2</sub> O <sub>3</sub>	13.73	13.77	13.67	13.67	13.86	14.04	15.12	14.64	
Cr <sub>2</sub> O <sub>3</sub>	55.03	54.82	54.74	54.38	54.51	54.65	53.89	52.93	
FeO	14.83	14.66	14.92	14.92	14.77	14.70	15.00	14.74	
MnO	0.27	0.24	0.23	0.22	0.22	0.22	0.29	0.23	
MgO	14.97	15.01	14.97	15.08	15.02	14.83	15.38	14.83	
CaO	0.00	0.01	0.01	0.00	0.01	0.01	0.03	0.02	
Na <sub>2</sub> O	0.00	0.00	0.00	0.00	0.00	0.00	0.08	0.03	
K <sub>2</sub> O	0.00	0.00	0.00	0.00	0.00	0.00	0.03	0.00	
NiO	----	----	----	----	----	----	0.17	0.17	
Total	99.03	98.74	98.71	98.52	98.57	98.66	100.50	97.97	

Formula units based on 32 oxygens.

Si	0.000	0.001	0.000	0.009	0.000	0.003	0.065	0.034
Ti	0.038	0.044	0.034	0.040	0.036	0.036	0.048	0.048
Al	4.107	4.127	4.100	4.105	4.157	4.213	4.443	4.412
Cr	11.037	11.019	11.014	10.952	10.967	10.995	10.620	10.697
Fe <sup>2+</sup>	2.385	2.370	2.377	2.338	2.359	2.426	2.307	2.378
Fe <sup>3+</sup>	0.771	0.757	0.808	0.853	0.794	0.711	0.831	0.784
Mn	0.011	0.004	0.001	0.000	0.000	0.001	0.016	0.004
Mg	5.660	5.688	5.676	5.725	5.697	5.626	5.713	5.651
Ca	0.000	0.002	0.004	0.000	0.004	0.004	0.007	0.006
Na	0.000	0.000	0.000	0.000	0.000	0.000	0.000	0.000
K	0.000	0.000	0.000	0.000	0.000	0.000	0.000	0.000
Ni	----	----	----	----	----	0.034	0.034	
Total	24.009	24.012	24.014	24.021	24.014	24.015	24.083	24.050
Mg#	0.704	0.706	0.705	0.710	0.707	0.699	0.712	0.704
Cr#	0.729	0.728	0.729	0.727	0.725	0.723	0.705	0.708
Fe <sup>3+</sup> #	0.048	0.048	0.051	0.054	0.050	0.045	0.049	

جدول ۱۲- نتایج آنالیز نقطه‌ای ارتوبیروکسن‌های موجود در پریدوتیت‌های گوشته افیولیت نایین و محاسبه فرمول ساختاری آن‌ها (پیرنیا، ۱۳۸۶).

Rock Type Sample No.	Lherzolite (18)							
	1	2	3	4	5	6	7	8
SiO <sub>2</sub>	54.08	54.53	54.15	54.32	54.26	54.50	55.92	55.95
TiO <sub>2</sub>	0.04	0.05	0.10	0.08	0.06	0.05	0.00	0.01
Al <sub>2</sub> O <sub>3</sub>	4.55	4.39	5.03	4.19	4.44	4.67	2.67	2.62
Cr <sub>2</sub> O <sub>3</sub>	0.68	0.69	0.78	0.64	0.62	0.63	0.65	0.73
FeO	6.11	6.17	6.11	6.09	6.07	6.14	5.43	5.61
MnO	0.12	0.15	0.13	0.14	0.16	0.16	0.15	0.15
MgO	31.89	32.18	31.38	32.59	31.44	31.84	33.71	33.52
CaO	1.76	1.41	1.47	1.31	1.91	1.53	1.41	1.37
Na <sub>2</sub> O	0.03	0.02	0.04	0.01	0.04	0.02	0.01	0.01
K <sub>2</sub> O	0.01	0.02	0.01	0.02	0.03	0.00	0.02	0.02
NiO	0.12	0.10	0.10	0.11	0.09	0.09	0.10	0.09
Total	99.38	99.70	99.30	99.50	99.10	99.62	100.07	100.07
Structural formula based on the 6 oxygens								
Si	1.88	1.89	1.89	1.89	1.90	1.90	1.93	1.93
Ti	0.00	0.00	0.00	0.00</				

پی بردن به ماهیت اولیه پریدوتیت‌های گوشته مورد بررسی بهتر است که پتروگرافی و ترکیب شیمیایی پیروکسن‌ها به عنوان کانی‌های به ارث رسیده از گوشته اولیه بررسی شود. به منظور دسترسی به جواب پرسش‌های مطرح شده در قسمت مقدمه، ابتدا دلیل تشکیل کرومیتیت در افیولیت‌های مزوژوییک و نبود آن در افیولیت‌های پرکامبرین یا پالئوزوییک، و سپس به بررسی دلیل اختلاف ترکیب شیمیایی کرومیتیت‌های موجود در افیولیت‌های نایین و عшин پرداخته خواهد شد. بررسی‌ها نشان می‌دهد که در فرآیند تشکیل کرومیتیت در پریدوتیت‌های گوشته عوامل زیر دارای نقش اساسی هستند (Arai, 1997): (۱) ترکیب پریدوتیت گوشته اولیه که از ذوب‌بخشی آن مذاب بازالتی صعود کننده به دست می‌آید؛ (۲) درصد ذوب‌بخشی صورت گرفته و حجم مذاب به دست آمده، که با عامل شماره یک ترکیب مذاب اولیه را تعیین می‌کنند؛ (۳) ترکیب ارتوپیروکسن و کلینوپیروکسن پریدوتیتی که مذاب از درون آن عبور می‌کند، و (۴) ذوب‌بخشی‌های پی در بی و ورود ماقمای اولیه بعدی که با ماقمای تغییر یافته مخلوط شود.

در این بخش ۴ عامل فوق بررسی می‌شود. در انجام این بررسی از جدول ۱۴ که برگرفته از داده‌های موجود در جداول‌های ۳ تا ۱۳ است استفاده خواهد شد.

(۱) ترکیب غالب پریدوتیت‌های گوشته در افیولیت‌های جندق و انارک لرزولیت‌های تقریباً زیاست در صورتی که در افیولیت‌های نایین و عшин سنگ غالب هارزبورگیت‌های تقریباً تهی شده هست. همان طور که قبل اشاره شد هرچند که این افیولیت‌ها با یکدیگر فاصله زیادی ندارند اما از نظر زمانی با یکدیگر بسیار اختلاف داشته و یک گروه متعلق به مزوژوییک و

## بحث

Zhou و همکاران (۱۹۹۴) تشکیل کانسارهای کرومیت انبانی را نتیجه ذوب‌بخشی گوشته بالایی می‌دانند. این پژوهشگران معتقدند که کرومیتیت‌های غنی از Cr از ماقمایی به وجود می‌آیند که حاصل ذوب‌بخشی درجه بالای پریدوتیت‌های گوشته هستند، در حالی که کرومیتیت‌های غنی از Al در ارتباط با ماقمایی هستند که از ذوب‌بخشی درجه پایین پریدوتیت‌های گوشته بالایی به وجود آمده‌اند. در این مدل، ارتوپیروکسن و کلینوپیروکسن‌های موجود در پریدوتیت‌های لرزولیتی گوشته که سنگ دیواره ماقمایی بازالتی در حال صعود هستند، بر اثر تماس با مذاب‌های صعود کننده ذوب شده و آنچه در دیواره باقی می‌ماند الیوین است که تشکیل غلاف دونیتی را می‌دهد. به طرف خارج، فقط کلینوپیروکسن‌ها ذوب می‌شوند و آنچه باقی می‌ماند ارتوپیروکسن و الیوینی است که تشکیل منطقه هارزبورگیتی را می‌دهد که در بیرون غلاف دونیتی قرار دارد. این منطقه هارزبورگیتی بطرف خارج توسط منطقه لرزولیت احاطه شده است. ذوب نامتجانس ارتوپیروکسن‌ها، از طرفی تولید الیوین‌های جایگزینی را کرده که تشکیل دهنده اصلی دونیت‌ها بوده، از طرفی تولید  $\text{SiO}_2$  را می‌کند که این  $\text{SiO}_2$  باعث ورود ماقمای بازالتی به داخل حوزه پایداری کرومیت می‌شود و در نتیجه، کرومیت متبلور می‌شود (برگرفته از شهاب‌پور، ۱۳۸۴ با تغییرات).

با توجه به مطلب فوق می‌توان متوجه شد که اسپینل‌ها و الیوین‌های موجود در پریدوتیت‌های گوشته اولیه نبوده، بر اثر واکنش مذاب صعود کننده با سنگ دیواره به وجود آمده‌اند. در حالی که ارتوپیروکسن‌ها و کلینوپیروکسن‌هایی که باقی مانده‌اند کانی‌های اولیه لرزولیت‌های گوشته محسوب می‌شوند. بنابراین، برای

ترتیب که انحنای لیکوییدوس فازنمودار (انحنای خط مرزی الیوین – اسپینل) در لرزولیت‌ها نسبت به هارزبورگیت‌ها بسیار کمتر بوده، ماگمای مخلوط دارای درجه بسیار کمی از فوق اشباع بودن از اسپینل برای تمرکز اسپینل است. با توجه به شکل ۲ مشخص است که در صورت مخلوط شدن دو مذاب با یکدیگر نقطه ترکیبی مذاب مخلوط ممکن است در میدان اسپینل قرار نگیرد یا اینکه مقدار اسپینل به دست آمده بسیار اندک باشد. با توجه به مطالعه ارائه شده می‌توان گفت که سیستم هارزبورگیت‌های نیمه‌دیرگذار (افیولیت‌های نایین و عشین)، نسبت به سیستم لرزولیت‌های زایا (افیولیت‌های انارک و جندق)، استعداد و قابلیت بسیار بیشتری در متبلور نمودن اسپینل و تشکیل کرومیتیت دارند.

گروه دیگر متعلق به پرکامبرین یا پالئوزوییک هستند. بررسی‌ها نشان می‌دهد که کرومیتیت‌های انبانی در لرزولیت‌های زایا و هارزبورگیت‌های شدیداً دیرگذار معمولاً غایب بوده، یا دارای حجم بسیار کمی هستند (Leblanc and Violette, 1983). دلیل این مسئله مقدار کم Cr# در گیر در سیستم لرزولیتی بخصوص مقدار کم این فاکتور در پیروکسن‌های موجود در لرزولیت‌های است. Cr# سیستم لرزولیتی برای تمرکز اسپینل و تشکیل کرومیتیت بسیار پایین بوده، مذاب مخلوط دارای درجه پایینی از فوق اشباع بودن از اسپینل است. بهترین سیستم پریدوتیتی برای تشکیل کرومیت‌های انبانی هارزبورگیت‌های نیمه دیرگذار است. شکل سیستم الیوین – اسپینل – کوارتز (شکل ۲) در سیستم‌های لرزولیتی و هارزبورگیتی با یکدیگر متفاوت است. بدین

جدول ۱۳- نتایج آنالیز نقطه‌ای اسپینل‌های موجود در پریدوتیت‌های گوشته افیولیت نایین و محاسبه فرمول ساختاری آن‌ها (پیرنیا، ۱۳۸۶).

Rock Type Sample No.	Lherzolite (18)		Lherzolite (19)		Harzburgite (21)			Dunite (25)	
	73	74	68	69	46	47	48	5	80
SiO <sub>2</sub>	0.119	0.000	0.001	0.000	0.015	0.005	0.000	0.000	0.02
TiO <sub>2</sub>	0.058	0.047	0.054	0.069	0.053	0.024	0.038	0.434	0.31
Al <sub>2</sub> O <sub>3</sub>	49.985	48.612	49.133	50.356	32.952	33.248	32.757	26.801	15.98
Cr <sub>2</sub> O <sub>3</sub>	17.415	18.667	18.812	17.636	34.833	34.496	34.745	35.961	52.73
FeO*	12.612	12.536	12.788	12.468	16.173	15.829	16.105	23.786	14.87
MnO	0.125	0.146	0.135	0.118	0.202	0.209	0.201	0.293	0.21
MgO	18.261	18.047	18.269	18.387	15.205	15.406	14.711	11.865	14.98
CaO	0.016	0.000	0.006	0.017	0.011	0.024	0.000	0.007	0.02
Na <sub>2</sub> O	0.000	0.000	0.000	0.000	0.000	0.000	0.000	0.000	0.03
K <sub>2</sub> O	0.000	0.000	0.000	0.000	0.000	0.000	0.000	0.000	0.01
NiO	0.000	0.000	0.000	0.000	0.000	0.000	0.000	0.000	0.15
Total	98.591	98.055	99.198	99.051	99.444	99.241	98.557	99.147	99.31
Structural formula based on the 32 oxygens									
Si	0.026	0.000	0.000	0.000	0.004	0.001	0.000	0.000	0.000
Ti	0.009	0.008	0.009	0.011	0.009	0.004	0.007	0.080	0.059
Al	12.768	12.546	12.535	12.797	9.066	9.140	9.113	7.721	4.728
Cr	2.984	3.232	3.220	3.007	6.429	6.362	6.484	6.950	10.461
Fe <sup>+2</sup>	2.108	2.089	2.087	2.075	2.678	2.600	2.789	3.693	2.441
Fe <sup>+3</sup>	0.178	0.207	0.228	0.174	0.479	0.487	0.389	1.169	0.687
Mn	0.023	0.027	0.025	0.022	0.040	0.041	0.040	0.061	0.000
Mg	5.901	5.892	5.896	5.911	5.292	5.325	5.177	4.324	5.602
Ca	0.004	0.000	0.001	0.004	0.003	0.006	0.000	0.002	0.000
Na	0.000	0.000	0.000	0.000	0.000	0.000	0.000	0.000	0.000
K	0.000	0.000	0.000	0.000	0.000	0.000	0.000	0.000	0.000
Ni	0.000	0.000	0.000	0.000	0.000	0.000	0.000	0.000	0.030
Total	24.000	24.000	24.000	24.000	24.000	24.000	24.000	24.000	24.007
Mg#*	0.737	0.738	0.739	0.740	0.664	0.672	0.650	0.539	0.782
Cr#	0.19	0.20	0.20	0.19	0.41	0.41	0.42	0.47	0.689
Fe <sup>+3</sup> #	0.011	0.013	0.014	0.011	0.030	0.030	0.024	0.074	0.043

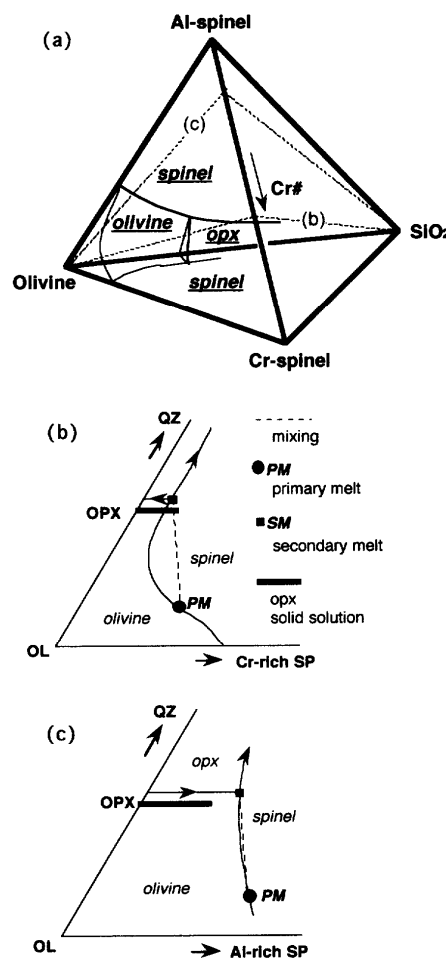
\*Cr# = Cr/(Cr+Al) atomic ratio, Mg# = Mg/(Mg+Fe<sup>+2</sup>) atomic ratio, Fe<sup>+3</sup># = Fe<sup>+3</sup>/(Fe<sup>+3</sup>+Cr+Al) atomic ratio

ذوببخشی بالاتر است. پرواضح است که هرچه مقدار درصد ذوببخشی در پریدوتیت‌های گوشه‌های بالاتر باشد، مقدار Cr و Fe مذاب حاصله (یعنی همنه‌های موردنیاز برای تبلور اسپینل) نیز افزایش خواهد یافت. مقدار درصد پایین ذوببخشی در پریدوتیت‌های گوشه‌های افیولیت جندق و انارک نیز توجیه کننده نبود کرومیتیت در این دو افیولیت است.

(۳) ترکیب ارتوپیروکسن و کلینوپیروکسن موجود در پریدوتیتی که مذاب صعود کننده با آن واکنش می‌دهد (خصوصاً مقدار Cr# آنها) نیز دارای اهمیت بسزایی است. بررسی داده‌های میکروپروروب کانی‌ها (جدول ۱۴) نشان می‌دهد که مقدار  $\text{Cr}_2\text{O}_3$  و Cr# کلینوپیروکسن‌های موجود در پریدوتیت‌های گوشه‌های این چهار افیولیت با یکدیگر اختلاف فاحشی نداشته اما ارتوپیروکسن‌های موجود در افیولیت‌های نایین و عшин به طور درخور ملاحظه‌ای با یکدیگر متفاوت هستند.

با توجه به مطالب فوق عدم تشکیل کرومیتیت در افیولیت‌های انارک و جندق را می‌توان به مقدار درصد پایین ذوب پیروکسن‌ها، فعل نبودن گوشه‌های در تشکیل مدام مذاب و لرزولیتی بودن سیستم گوشه‌های دانست. اما اختلاف ترکیب کرومیتیت‌های موجود در افیولیت‌های نایین و عшин را می‌توان به متفاوت بودن ترکیب شیمیایی پیروکسن‌ها و به خصوص ارتوپیروکسن‌های آنها نسبت داد. در ارتوپیروکسن‌های افیولیت نایین مقدار  $\text{Cr}_2\text{O}_3$  و Cr# بطور درخور توجه‌های بیش از افیولیت عшин بوده، در عوض مقدار Mg# آنها کمتر است (جدول ۱۵).

هرچه مقدار  $\text{Cr}_2\text{O}_3$  و Cr# در ارتوپیروکسن و کلینوپیروکسن‌های سنگ دیواره بیشتر باشد، بعد از ذوب کلینوپیروکسن و ارتوپیروکسن‌ها بر اثر واکنش، مقدار Cr در مذاب حاصله افزایش یافته و



شکل ۲- تفاوت انحنای لیکوییدوس فاز نمودار Ol-Q-Spinel (انحنای خط مرزی الیوین - اسپینل) در سیستم‌های (b) هارزبورگیتی و (c) لرزولیتی (Arai, 1997).

(۲) فراوانی لرزولیت و سهم عمده آن در پریدوتیت‌های گوشه‌های افیولیت‌های جندق و انارک نشان می‌دهد که ذوببخشی در این پریدوتیت‌های گوشه‌های پدیده‌ای فراگیر نبوده، مقدار درصد ذوببخشی که لرزولیت‌های گوشه‌های تحمل کرده‌اند کمتر از ۱۰٪ بوده است (ترابی، ۱۳۸۳).

برخلاف این دو افیولیت قدیمی، در افیولیت‌های نایین و عшин، هارزبورگیت‌ها دارای فراوانی بیشتری نسبت به لرزولیت‌ها هستند که بیانگر رخداد درجات

کلینوپیروکسن‌های افیولیت نایین نیز حدود ۱۰٪ بیش از کلینوپیروکسن‌های افیولیت عشین است.

احتمال تبلور و تجمع اسپینل و تشکیل کرومیتیت افزایش می‌یابد. متوجه  $\text{Cr}_2\text{O}_3$

جدول ۱۵- مقایسه فاکتورهای مختلف پترولوزی و کانی‌شناسی چهار افیولیت نایین، عشین، انارک و جندق (برگرفته از جدول‌های ۳ تا ۱۴).

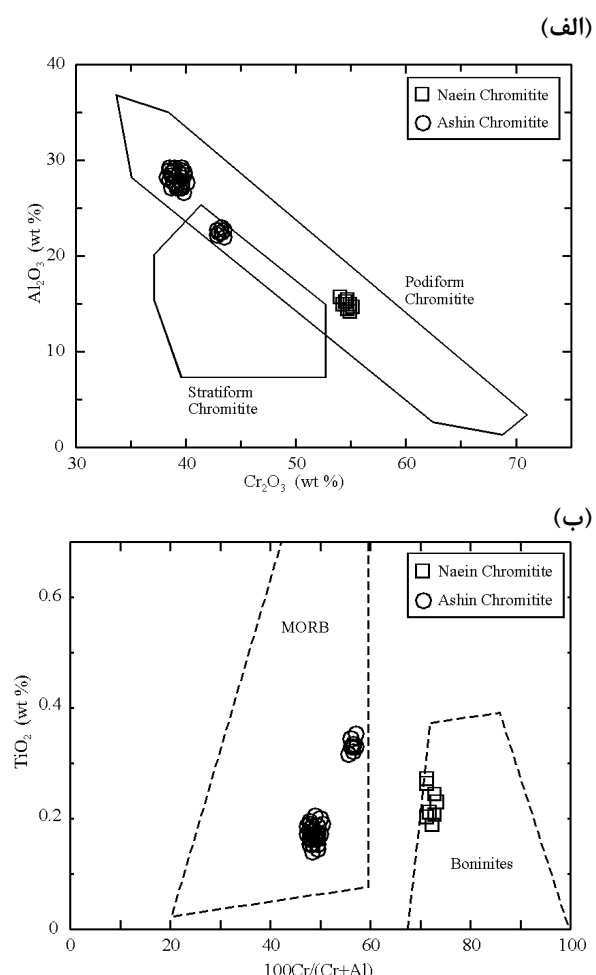
Ophiolite	Jandaq	Anarak	Ashin	Naein
Age	Proterozoic or Paleozoic	Proterozoic or Paleozoic	Mesozoic	Mesozoic
Dominant Mantle Peridotite	Lherzolite	Lherzolite	Harzburgite	Harzburgite
Chromitite	No	No	Yes (High-Al)	Yes (High-Cr)
Clinopyroxene Type	Diopside	Diopside	Diopside	Diopside and Augite
Clinopyroxene $\text{Cr}_2\text{O}_3$ Content	0.71-1.31 (Av.: 1.06)	0.55-1.18 (Av.: 0.86)	0.74-1.31 (Av.: 0.94)	0.72-1.17 (Av.: 1.05)
Clinopyroxene $\text{Al}_2\text{O}_3$ Content	2.34-6.49 (Av.: 4.03)	3.95-6.51 (Av.: 4.94)	2.57-7.13 (Av.: 3.87)	2.55-6.12 (Av.: 4.44)
Clinopyroxene Cr#	0.100-0.200 (Av.: 0.155)	0.079-0.160 (Av.: 0.105)	0.072-0.188 (Av.: 0.149)	0.102-0.197 (Av.: 0.145)
Clinopyroxene Mg#	0.914-0.966 (Av.: 0.941)	0.917-0.982 (Av.: 0.928)	0.877-0.983 (Av.: 0.938)	0.909-0.993 (Av.: 0.943)
Orthopyroxene $\text{Cr}_2\text{O}_3$ Content	----	----	0.21-0.66 (Av.: 0.458)	0.62-0.78 (Av.: 0.676)
Orthopyroxene $\text{Al}_2\text{O}_3$ Content	----	----	3.14-5.68 (Av.: 4.596)	2.62-5.03 (Av.: 4.068)
Orthopyroxene Cr#	----	----	0.045-0.072 (Av.: 0.061)	0.081-0.157 (Av.: 0.106)
Orthopyroxene Mg#	----	----	0.917-0.978 (Av.: 0.944)	0.902-0.928 (Av.: 0.913)
Chromitite Spinel $\text{Cr}_2\text{O}_3$ Content	----	----	38.23-43.59 (Av.: 39.98)	52.93-55.03 (Av.: 54.37)
Chromitite Spinel Cr#	----	----	0.472-0.573 (Av.: 0.501)	0.705-0.729 (Av.: 0.722)
Mantle Peridotite Spinel $\text{Cr}_2\text{O}_3$ Content	35.47-45.35 (Av.: 39.24)	37.82-41.86 (Av.: 39.71)	9.26-44.86	17.42-52.73
Mantle Peridotite Spinel Cr#	0.45-0.61 (Av.: 0.51)	0.474-0.539 (Av.: 0.494)	0.095-0.59	0.195-0.710

افیولیت‌های انارک و جندق نشان داده است که همگی یوهدرال (خودشکل) بوده، تنوع ترکیبی گسترهای ندارند. در صورتی که اسپینل‌های موجود در افیولیت‌های مزوژوپیک از لرزولیت به سمت کرومیتیت یوهدرال تر شده و مقدار  $\text{Cr}^{\#}$  آن‌ها افزایش می‌یابد. بنابراین، اسپینل‌های موجود در پریدوتیت‌های گوشته را می‌توان اسپینل‌های کومولوس حاصل واکنش مذاب بازالتی با سنگ دیواره پریدوتیتی در نظر گرفت که خود بیانگر اضافه نشدن ماقمای اولیه جدید به ماقمای تغییر یافته است. همه مواردی که در بالا به آن‌ها اشاره شد نبود کرومیتیت در افیولیت‌های قدیمی ایران مرکزی را توجیه می‌کند. به نظر می‌رسد همه عوامل ذکر شده دست به دست یکدیگر داده تا در افیولیت‌های انارک و جندق کرومیتیت تشکیل نشود. اما بررسی‌ها نشان می‌دهد که مهم‌ترین عامل عدم تشکیل کرومیتیت در درون این افیولیت‌ها لرزولیتی بودن سیستم گوشته و نبود ذوب‌بخشی مداوم و گستردگی است.

(۴) ورود یا عدم ورود ماقمای اولیه جدید به محل واکنش مذاب با سنگ دیواره پریدوتیتی نیز یک عامل بسیار مهم است. اگر ماقمای جدید وارد محیط واکنش نشود تنها مقدار کمی اسپینل کومولوس که حاصل واکنش مذاب با سنگ دیواره است تشکیل می‌شود. اما اگر مذاب اولیه جدید وارد شود درجه اشباع شدن از اسپینل در مذاب مخلوط بالاتر رفته و کرومیتیت تشکیل می‌شود. ورود ماقمای جدید و صعود پی در پی مذاب‌های حاصل ذوب‌بخشی، به پویایی گوشته در افزایش درجه ذوب‌بخشی و تولید حجم زیادی از مذاب بستگی دارد. بررسی‌های صحرایی افیولیت‌های جندق و انارک نشان می‌دهد که تعداد دایک‌ها، ضخامت آنها، و حجم گدازها نسبت به افیولیت‌های نایین و عشین که دارای کرومیتیت هستند در خور توجه نبوده که خود بیانگر عدم پویایی گوشته در ذوب‌بخشی مدام و تولید دایک‌ها و گدازه‌های است. بررسی پتروگرافی و شیمی اسپینل‌های موجود در همه انواع پریدوتیت گوشته

همان طور که قبلاً اشاره شد ارتوپیروکسن‌های موجود در پریدوتیت‌های گوشته افیولیت نایین نسبت به ارتوپیروکسن‌های موجود در افیولیت عشین دارای  $\text{Cr}_2\text{O}_3$  بیشتر و  $\text{Al}_2\text{O}_3$  کمتری هستند (جدول ۱۳). دلیل وجود درجات ذوب‌بخشی بالاتر در افیولیت نایین نیز فراوان‌تر بودن هارزبورگیت در نایین نسبت به عشین است. ترکیب ماقمای در حال صعود که در حال واکنش با سنگ دیواره است نیز یکی از عوامل مهم دیگر در تعیین ترکیب شیمیایی کرومیتیت‌های حاصل از رخداد واکنش مذاب - گوشته است. بررسی‌های Arai (1992) نشان می‌دهد که مذاب‌هایی شبیه MORB‌ها باعث تبلور اسپینل‌هایی غنی از Al، و مذاب‌های بونینیتی باعث تبلور اسپینل‌هایی غنی از Cr می‌شود. مطالعات انجام شده نشان می‌دهد که مذاب واکنش گر در افیولیت نایین از نوع بونینیت (پیرنیا، ۱۳۸۶)، (ترابی و همکاران، ۱۳۸۷) و بازالت‌های جزایر قوسی (Rahmani *et al.*, 2007) در افیولیت عشین شبیه MORB (ترابی، ۱۳۸۳) بوده است (شکل ۳). این مسأله نیز رخداد درجات ذوب‌بخشی بالاتر در گوشته افیولیت نایین را تایید می‌کند. درباره رابطه تشکیل یا عدم تشکیل و همچنین، نوع کرومیتیت با نوع محیط تکونیکی مجموعه‌های افیولیتی پژوهشگران متعددی مانند: Tomurtogoo and Matsumoto (1988), Roberts (2003) و Arai (1992) مطالعی را ارائه کرده‌اند اما در این مورد اتفاق نظری وجود ندارد. تشکیل کرومیتیت در پشت‌های میان اقیانوسی بهندرت گزارش شده (Arai, 1997) و در صورت تشکیل از نوع غنی از Al (1997) در بررسی‌های جدیدتر تشکیل کرومیتیت‌ها در مجموعه‌های افیولیتی به محیط‌های حاشیه‌ای و جزایر قوسی بهدلیل حضور آب فراوان در محیط نسبت داده می‌شود (Matsumoto and Zhou, 1997).

مقایسه ترکیب اسپینل‌ها در کرومیتیت‌های افیولیت‌های مزوژوییک نشان می‌دهد که کرومیتیت‌های افیولیت عشین دارای  $\text{Al}_2\text{O}_3$  در خور توجه و کرومیتیت‌های موجود در افیولیت نایین نیز دارای  $\text{Cr}_2\text{O}_3$  زیادی هستند (شکل ۳). دلیل این اختلاف به متفاوت بودن ترکیب ارتوپیروکسن‌های موجود در پریدوتیت‌های گوشته آنها، و وجود درجات ذوب‌بخشی بالاتر در پریدوتیت‌های گوشته افیولیت نایین نسبت به پریدوتیت‌های گوشته افیولیت عشین است.



شکل ۳- موقعیت کرومیتیت‌های موجود در افیولیت‌های عشین و نایین در: (الف) نمودار تعیین کننده نوع کرومیتیت (برگرفته از Bonavia و همکاران، ۱۹۹۳)، (ب) نمودار نشان‌دهنده ماهیت مذاب بازیک واکنش‌دهنده با سنگ دیواره پژوهشگری به هنگام تشکیل کرومیتیت‌ها. محدوده ترکیب بونینیت‌ها و MORB برگرفته از Arai (۱۹۹۲) است.

محیط تکتونیکی افیولیت‌های مورد بررسی وجود دارد می‌توان گفت که افیولیت‌های نایین و عشین احتمالاً در محیط بالای زون فرورانش تشکیل شده و افیولیت‌های LOT انارک و جندق شبیه افیولیت‌های میان اقیانوسی و توده‌های لرزولیتی هستند.

### نتیجه‌گیری

دلیل نبود کرومیتیت در پریدوتیت‌های گوشه افیولیت‌های انارک و جندق، به لرزولیتی بودن سیستم گوشه، درصد پایین ذوب‌بخشی پریدوتیت‌های گوشه، عدم پویایی گوشه در ذوب‌بخشی مداوم و تولید دایک‌ها و گدازه‌های دلیل اختلاف ترکیب شیمیایی کرومیتیت‌های افیولیت‌های عشین و نایین نیز به متفاوت بودن ترکیب ارتوپیروکسن‌های آنها، بالاتر بودن درجه ذوب‌بخشی پریدوتیت‌های گوشه افیولیت نایین، و متفاوت بودن ترکیب شیمیایی ماقمای واکنش گر در این دو افیولیت مربوط می‌شود.

Tomurtogoo, 2003; Ravikant *et al.*, 2004) نمودارهای تکتونیکی ارائه شده درباره پریدوتیت‌ها و اسپینل‌ها بسیار ناقص بوده، همه چیز را از یکدیگر تفکیک نمی‌کنند (Nicolas, and Boudier, 2003) در جدیدترین بررسی‌های انجام شده، محیط تکتونیکی افیولیت نایین و نوار افیولیتی نایین – بافت به محیط‌های جزایر قوسی (Rahmani *et al.*, 2007) و بالای زون فرورانش و حوضه‌های پشت کمان نسبت داده شده است (Moghadam *et al.*, 2008, 2009). تراوی (۱۳۸۳) بازالت‌های موجود در افیولیت عشین را از نظر ترکیب شیمیایی نزدیک به MORB می‌داند.

بررسی‌های انجام شده بر روی افیولیت‌های LOT انارک و جندق (تراوی، ۱۳۸۳؛ Torabi, ۲۰۰۹) شباهت آن‌ها به افیولیت‌های میان اقیانوسی و توده‌های لرزولیتی کوهزایی (Orogenic Iherzolitic massif) را نشان می‌دهد. با توجه به بررسی‌های انجام شده، ترکیب شیمیایی کرومیتیت‌ها و عدم توافقی که درباره سن و

### منابع

- پیرنیا، ت. (۱۳۸۶) پترولوزی پریدوتیت‌های گوشه افیولیت نایین. پایان‌نامه کارشناسی ارشد، دانشگاه اصفهان، اصفهان، ایران.
- تراوی، ق. (۱۳۸۳) پترولوزی افیولیت‌های منطقه انارک (شمال شرق استان اصفهان) با تأکید بر مطالعه سنگ‌های اولترامافیک - مافیک افیولیت شمال انارک و سنگ‌های اولترامافیک- مافیک ملانژ افیولیتی عشین- زوار. پایان‌نامه دکتری، دانشگاه تربیت مدرس، تهران، ایران.
- تراوی، ق.. عبدالهی، ا. و شیردشتزاده، ن. (۱۳۸۷) استفاده از آنالیز کانی‌ها و سنگ کل در تشخیص پتروزنر گدازه‌های بالشی افیولیت نایین. مجله بلورشناسی و کانی‌شناسی ایران (۲) ۱۶: ۲۹۵ تا ۳۱۲.
- جباری، ع. (۱۳۷۶) زمین‌شناسی و پترولوزی افیولیت نایین. پایان‌نامه کارشناسی ارشد، دانشگاه اصفهان، اصفهان، ایران.
- شهاب‌پور، ج. (۱۳۸۴) زمین‌شناسی اقتصادی. انتشارات دانشگاه شهید باهنر، کرمان.
- منوچهری، ش. (۱۳۷۶) بررسی پتروگرافی و پترولوزی افیولیت‌های شمال نایین. پایان‌نامه کارشناسی ارشد، دانشگاه شهید بهشتی، تهران، ایران.
- Almasian, M. (1997) Tectonics of the Anarak area (Central Iran). Ph.D. thesis, Islamic Azad University, Science and Research Branch, Tehran, Iran.
- Arai, S. (1997) Control of Wall-rock composition on the formation of Podiform Chromitites as a result of

- Magma/Peridotite interaction. *Resource Geology* 47(4): 177-187.
- Arai, S. (1992) Chemistry of chromian spinel in volcanic rocks as a potential guide to magma chemistry. *Mineralogical Magazine* 56: 173-184.
- Bagheri, S. (2007) The exotic Paleo-tethys terrane in Central Iran: new geological data from Anarak, Jandaq and Posht-e-Badam areas. Ph.D. thesis, Faculty of Geosciences and Environment, University of Leusanne, Switzerland.
- Bonavia, F. F., Diella, V. and Ferrario, A. (1993) Precambrian podiform chromitites from Kenticha Hill, southern Ethiopia. *Economic Geology* 88(1): 198-202.
- Davoudzadeh, M. (1972) Geology and petrography of the area north of Nain, Central Iran. Geological Survey of Iran, Tehran, Report No. 14.
- Davoudzadeh, M. (1997) Geology of Iran, In: E. M. Moores and R. W. Fairbridge (Eds.): *Encyclopedia of Asian and European Regional Geology*, Chapman and Hall, London.
- Droop, G. T. R. (1987) A general equation for estimating Fe<sup>3+</sup> concentrations in ferromagnesian silicates and oxides from microprobe analyses, using stoichiometric criteria. *Mineralogical Magazine* 51: 431-435.
- Kelemen, P. B., Dick, H. J. B. and Quick, J. E. (1992) Formation of harzburgite by pervasive melt-rock reaction in the upper mantle. *Nature* 358: 635-641.
- Kelemen, P. B., Braun, M. and Hirth, G. (2000) Spatial distribution of melt conduits in the mantle beneath oceanic spreading ridges: Observations from the Ingalls and Oman ophiolites. *G3 (Geochemistry, Geophysics, Geosystems)*, 1 (7).
- Kuo, L. C. and Kirkpatrick, R. J. (1985) Dissolution of mafic minerals and its implications for the ascent velocities of peridotite-bearing basalts magmas. *Journal of Geology* 93: 691-700.
- Leblanc, M. and Violette, J. F. (1983) Distribution of aluminum-rich and chromium-rich chromite pods in ophiolite peridotites. *Economic Geology* 78: 293-301.
- Matsumoto, I., and Tomurtogoo, O. (2003) Petrological characteristics of the Hantaishir ophiolite complex, Altai region, Mongolia: Coexistence of podiform chromitite and boninite. *Gondwana Research* 6: 161-169.
- Moghadam, H. S., Rahgoshay, M. and Whitechurch, H. (2008) Mesozoic back-arc extension in the active margin of the Iranian continental block: constraints from age and geochemistry of the mafic lavas. *Ophioliti* 33(2): 95-103.
- Moghadam, H. S., Whitechurch, H., Rahgoshay, M. and Monsef, I. (2009) Significance of Nain-Baft ophiolitic belt (Iran): Short-lived, transtensional Cretaceous back-arc oceanic basins over the Tethyan subduction zone. *Comptes Rendus Geoscience* 341: 1016-1028.
- Nicolas, A. (1989) Structures of ophiolites and dynamics of oceanic lithosphere. Kluwer Academic Publishers, Dordrecht, Netherlands.
- Nicolas, A. and Al-Azri, H. (1990) Chromite-rich and chromite-poor ophiolites: the Oman case. Proceedings of the ophiolite conference, Held in Muscat, Oman.
- Nicolas, A. and Boudier, F. (2003) Where ophiolites come from and what they tell us. *Geological Society Special Papers* 373: 137-152.
- Pessagno, E. A., Jr., Ghazi, A. M., Kariminia, S. M., Duncan, R. A., and Hassanipak, A. A. (2004) Tectonostratigraphy of the Khoy complex, Northwestern Iran. *Stratigraphy* 1(2): 49-63.
- Rahmani, F., Noghreyan, M. and Khalili, M. (2007) Geochemistry of sheeted dikes in the Nain ophiolite (Central Iran). *Ophioliti* 32(2): 119-129.
- Ravikant, V., Tapan P. and Dipankar, D. (2004) Chromite from the Nidar ophiolite and Karzok Complex,

- Transhimalaya, eastern Ladakh: their magmatic evolution. *Journal of Asian Earth Sciences* 24: 177-184.
- Reyer, D. and Mohafez, S. (1972) The first contribution of the NIOC-ERAP agreements to knowledge of Iranian geology. Edition technic, Paris.
- Roberts, S. (1988) Ophiolitic chromitite formation: A marginal Basin phenomenon?. *Economic Geology* 83: 1034-1036.
- Sharkovski, M., Susov, M. and Krivyakin, B. (1984) Geology of the Anarak area (Central Iran), Explanatory text of the Anarak quadrangle map, 1:250,000. V/O Technoexport Report TE/No. 19, Geological Survey of Iran, Tehran.
- Torabi, G. (2009) Chromitite potential in mantle peridotites of the Jandaq ophiolite (Isfahan province, Central Iran). *Comptes Rendus Geoscience* 341:982-992.
- Zhou, F. M., Robinson, P. T. and Bai, W. J. (1994) Formation of podiform chromitites by melt/rock interaction in the upper mantle. *Mineralium Deposita* 29: 98-101.
- Zhou, M. F. and Robinson, P. T. (1997) Origin and tectonic setting of podiform chromite deposits. *Economic Geology* 92: 259-262.
- Zhou, M. F., Sun, M., Keays, R. R. and Kerrich, R. W. (1998) Controls on platinum-group elemental distributions of podiform chromitites: a case study of the high-Cr and high-Al chromitites from Chinese orogenic belts. *Geochimica et Cosmochimica Acta* 62: 677-688.
- Zhou, M. F., Robinson, P. T., Malpas, J. G., Aitchison, J. C., Sun, M., Bai, W. J., Hu, X. F. and Yang, J. S. (2001) Melt/rock interation and melt evolution in the Sartohay high-Al chromite deposit of the Dalabute ophiolite (NW China). *Journal of Asian Earth Sciences* 19: 519-536.

## **Causes of different composition of chromitites in Naein and Ashin ophiolites, and its absence in Anark and Jandaq ophiolites (Isfahan province)**

**Ghodrat Torabi \***

Department of Geology, Faculty of Sciences, University of Isfahan, Isfahan, Iran

### **Abstract**

There are two types of ophiolites in the west of Central Iran: Mesozoic ophiolites (Naein and Ashin), and Paleozoic or Precambrian ophiolites (Anarak and Jandaq). Field studies show that the Mesozoic ophiolites have considerable masses of chromitite, but there are no chromitite Anarak and Jandaq ophiolites. The study of Mesozoic ophiolites reveals that they have two different types of chromitites. The Naein chromitites are high-Cr whereas the Ashin chromitites are high-Al. The reasons for the chromitite absence in the Anarak and Jandaq ophiolites are Iherzolitic system of mantle, low degree of partial melting in mantle rocks and the lack of sequential melt production by mantle. Different composition of orthopyroxenes, difference in degree of partial melting and chemistry of ascending melts are causes of compositional diversity of chromitites in Mesozoic ophiolites.

**Key words:** Ophiolite, Mantle peridotite, Chromitite, Central Iran

---

\* torabighodrat@yahoo.com